

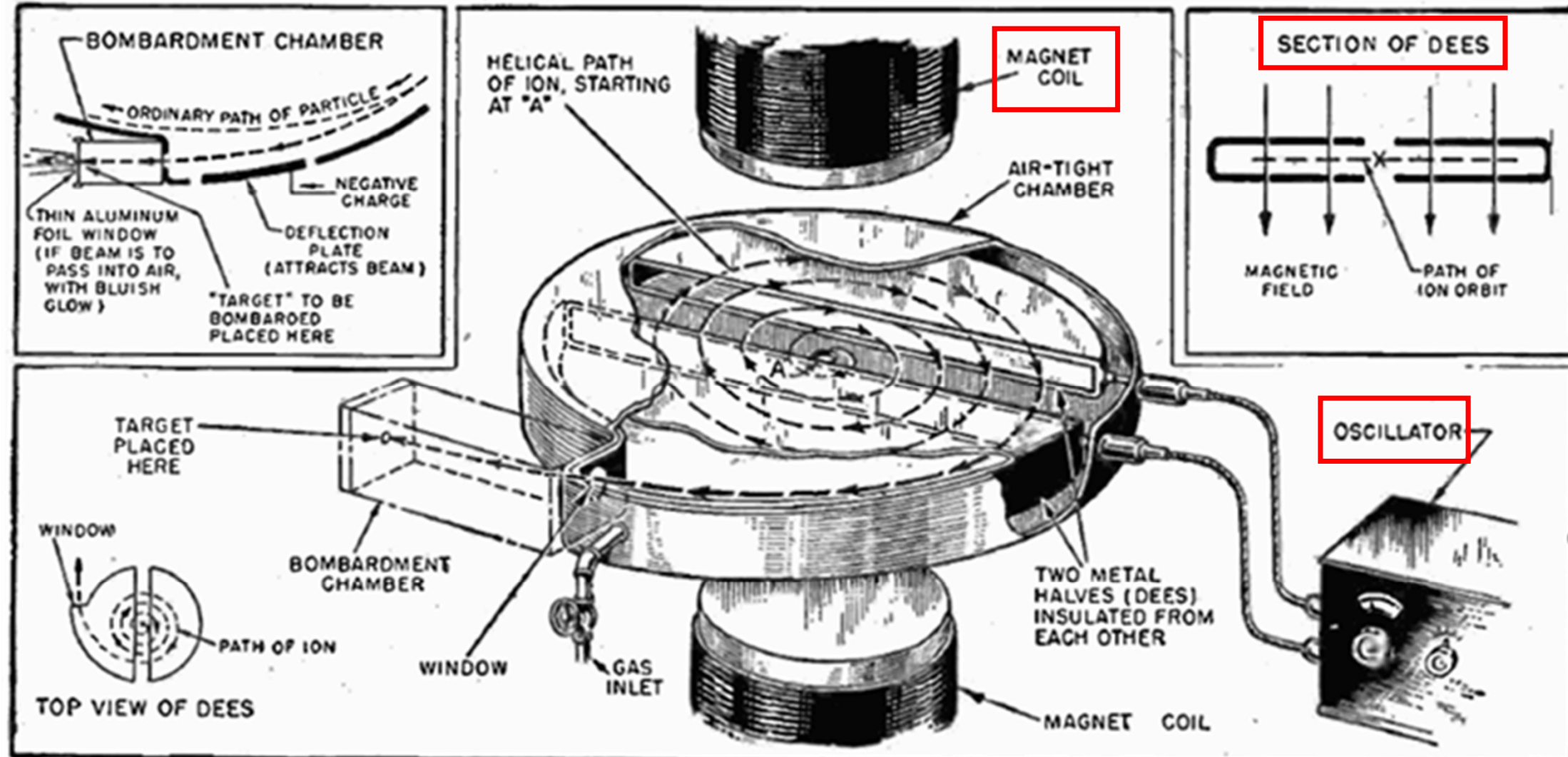
サイクロトロンの超伝導化

理化学研究所 仁科加速器科学研究中心

奥野広樹

- サイクロトロン概略
- MSUの超伝導サイクロトロン
- 理研RIBFの超伝導リングサイクロトロン
- 今後の「サイクロトロンの超伝導化」
- まとめ

サイクロトロンの概要



The first cyclotron

Ernest Orlando Lawrence



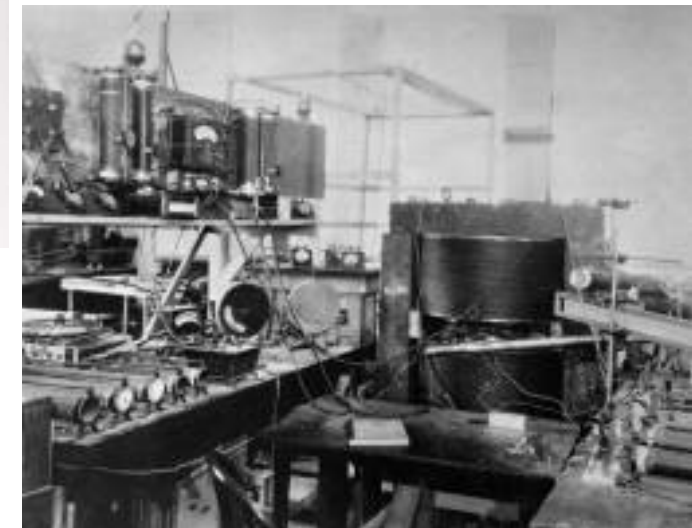
Taken from
https://en.wikipedia.org/wiki/Ernest_Lawrence

Taken from
<https://www2.lbl.gov/Science-Articles/Archive/revia.html>

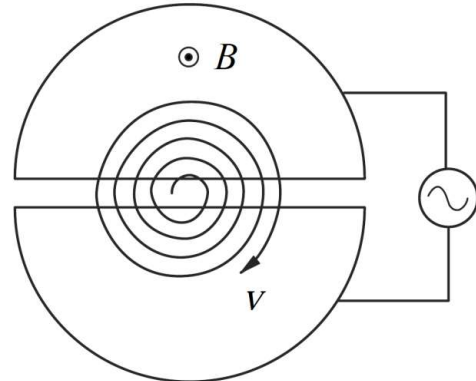


The 4 inch
80-keV H_2^+ , 1931

The 11 inch
1.1-MeV proton, 1932



Magnet poles



D-electrodes

$$V = V_D \cos \omega_D t$$

(Cyclotron frequency)

$$qvB = \frac{mv^2}{\rho}$$

$$\omega = \frac{v}{\rho} = \frac{qB}{m}$$

Cyclotron is a resonance phenomenon.

Resonance condition

$$\omega_D = \omega \quad (\text{Cyclotron frequency})$$

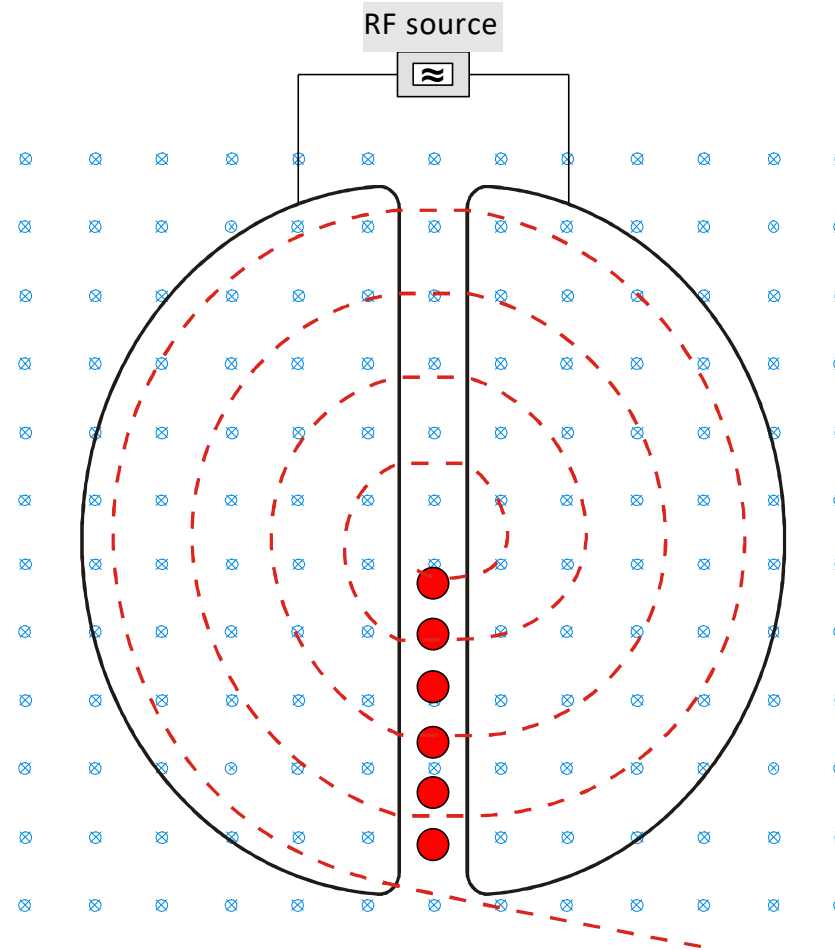
The *cyclotron frequency* of a non-relativistic particle is independent of the particle velocity

Successive acceleration occurs.

Particles reach periphery.

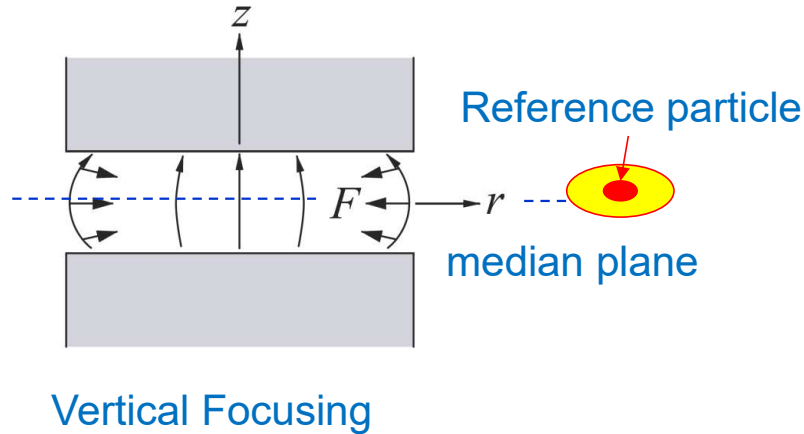
Taken from "Beam Dynamics in Cyclotrons", A. Goto (1998)

Acceleration in the cyclotron



ほうきで掃くような加速

Cyclotron: weak convergence



$$\begin{aligned}
 F_z &= qv_\theta B_r \\
 &= qv_\theta \frac{\partial B_r}{\partial z} z = qv_\theta \frac{\partial B_z}{\partial r} z \quad \left(\Leftarrow \nabla \times \vec{B} = 0 \right) \\
 &= q\omega r \frac{\partial B_z}{\partial r} z = m\omega^2 \frac{r}{B_z} \frac{\partial B_z}{\partial r} z \\
 &= m\omega^2 \mu' z
 \end{aligned}$$

a new parameter μ'

$$\mu' \equiv \frac{r}{B_z} \frac{\partial B_z}{\partial r} = -n$$

Equation of motion in z direction

$$\frac{d^2 z}{dt^2} - \mu' \omega^2 z = \frac{d^2 z}{dt^2} + \omega_z^2 z = 0$$

$z \rightarrow$ azimuthal angle θ transformation

$$\frac{d^2 z}{d\theta^2} - \mu' z = \frac{d^2 z}{d\theta^2} + v_z^2 z = 0$$

a new parameter v_z

$$v_z = \frac{\omega_z}{\omega} = \sqrt{-\mu'}$$

→ betatron oscillation

$$\mu' < 0 \quad \left(\frac{\partial B_z}{\partial r} < 0 \right)$$

→ simple harmonic motion

Cyclotron: weak convergence

Equation of motion in radial direction

$$-qv_\theta B_z = m\left(-\frac{v^2}{r} + \frac{d^2r}{dt^2}\right)$$

$$\left\{ \begin{array}{l} B_z(r) = B_z(R) + \frac{\partial B_z}{\partial r}x + \dots \\ X \ll R \end{array} \right.$$

$$-qv_\theta \frac{\partial B_z}{\partial r}x = \frac{mv^2x}{R^2} + m\frac{d^2x}{dt^2}$$

Thus, we obtain

$$\frac{d^2x}{d\theta^2} + (1 + \mu')x = \frac{d^2x}{d\theta^2} + v_r^2 x = 0$$

betatron oscillation is:

$$v_r = \frac{\omega_r}{\omega} = \sqrt{1 + \mu'}$$

$$\mu' > -1 \quad \left(\frac{r}{B_z} \frac{\partial B_z}{\partial r} > -1 \right)$$

Weak convergence condition

$$-1 < \mu' < 0$$

Z方向、R方向ともに収束

Cyclotron principle

Isochronism

- phase stability of beam acceleration

Beam convergence

- vertical focusing

Classical cyclotrons - weak convergence

relativistic effect

- Increasing radially magnetic field
- causes the axial defocusing

Limitations: relativistic effects break the isochronism

→ $E_{pmax} \approx 12 \text{ MeV}$

a new parameter μ'

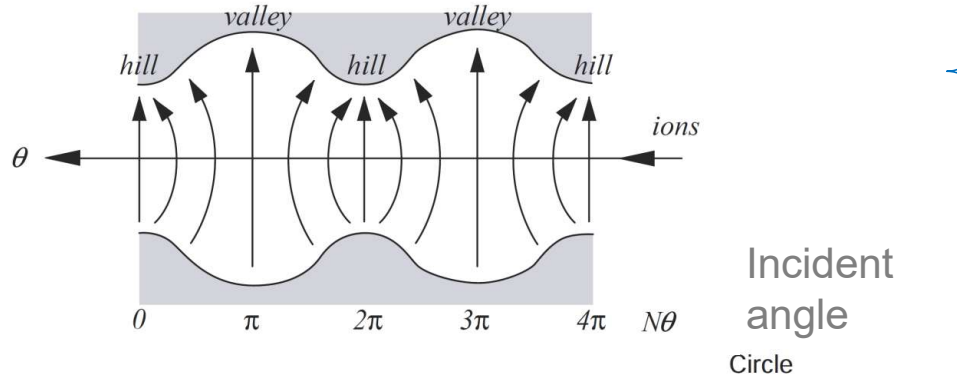
$$\mu' = \frac{r}{B_z} \frac{\partial B_z}{\partial r} = -n$$

$z \rightarrow$ azimuthal angle θ transformation

$$\frac{d^2 z}{d\theta^2} - \mu' z = \frac{d^2 z}{d\theta^2} + v_z^2 z = 0$$

Cyclotron: strong convergence

Increasing radially magnetic field causes the axial defocusing. It is solved by provided magnetic field **Azimuthally Varying Field (AVF)**



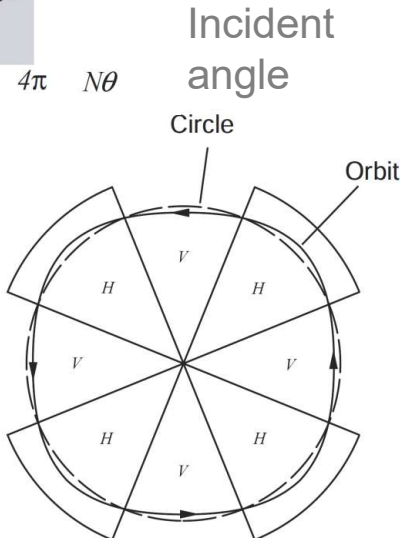
Azimuthally Varying Field

$$B_z = \bar{B}(1 + f \cos N\theta)$$

particle motion at x_f from R

$$-qv\bar{B}f \cos N\theta = m \ddot{x}_f$$

$$\rightarrow x_f = \frac{fR}{N^2} \cos N\theta$$



radial velocity & B as azimuth angle

$$v_r = \omega \frac{dx}{d\theta} = -\frac{\omega f R}{N} \sin N\theta$$

$$B_\theta = \frac{\partial B_\theta}{\partial z} z = \frac{\partial B_z}{R \partial \theta} z = -z \frac{\bar{B} f N}{R} \sin N\theta$$

$$(Q \cdot \nabla \times \vec{B} = 0)$$

focusing force in z direction

$$F_z = -qv_r B_\theta = -m\omega^2 f^2 z \sin^2 N\theta$$

- always makes strong focusing
- Edge focusing

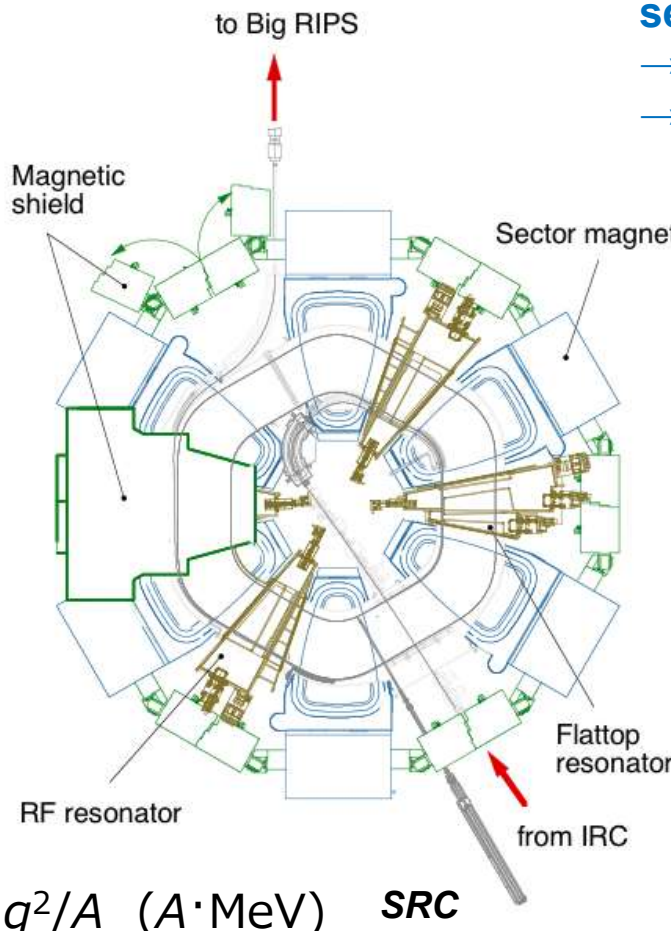
Classical
Cyclotron



AVFCyclotron



Higher energies – Ring Cyclotron



sector magnet structure
→ deep hill/valley
→ stronger edge focusing



サイクロトロンの超伝導化

AVFサイクロトロン
MSU K00 から始まった。

Ring Cyclotron
理研のSRCが唯一の適応例

K value

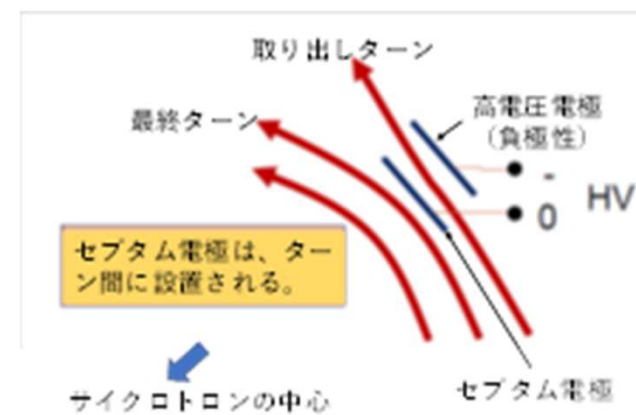
$$E = K \cdot q^2 / A \quad (A \cdot \text{MeV})$$

SRC

| | |
|-------------------|-----------|
| K-value | 2,600 MeV |
| No. of sectors | 6 |
| Extraction radius | 5.36 m |
| Max. mag. field | 3.8 T |
| No. of resonators | 4 |
| Magnet weight | 8,100 t |
| Superconducting | |

最初の超伝導サイクロトロン

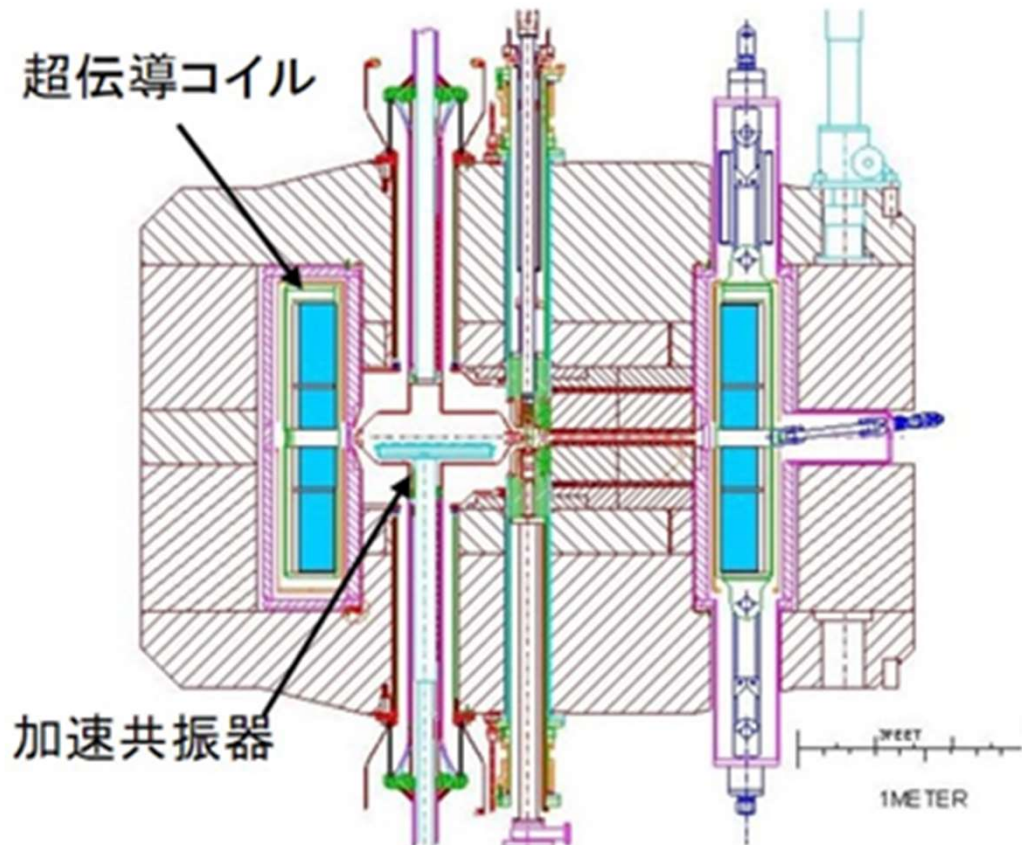
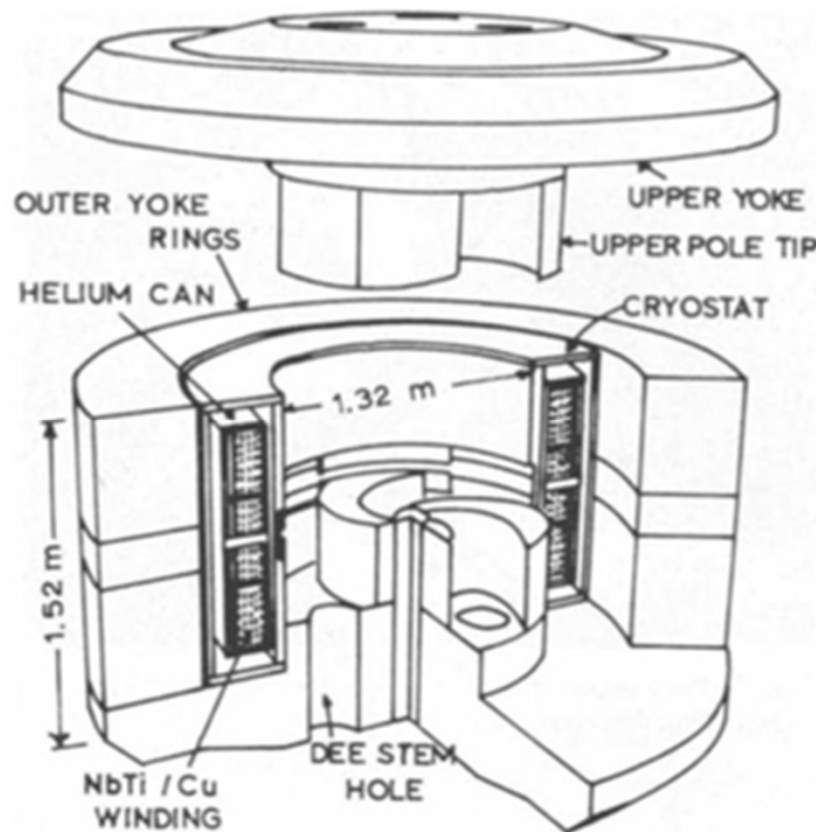
- 最初に超伝導コイルを用いたサイクロトロンのコンセプトを打ち出したのは、カナダChalkriver原子核研究所のBighamだった。
- 超伝導サイクロトロンを最初に作ったMSUのBlossorは、1972年にバンクーバーで行われたサイクロトロン国際会議で、このコンセプトに対して次のように反論している。
- “Superconductivity then seems unlikely to make a contribution to cyclotrons in the foreseeable future, primarily because there is no overriding problem which would thereby be solved such as it is the case for synchrotrons and linacs.”**
- Blossorの主な心配は、超伝導磁石によりサイクロトロンが小さくなる事により、ビームの質や取り出しに問題が出てくるのではないかという事である。しかし、程なく、Blossorは、その考えを改め、1973年に超伝導サイクロトロンの超伝導磁石の実証機の検討を始める事を決定し、1974年には超伝導サイクロトロンの設計を発表した。



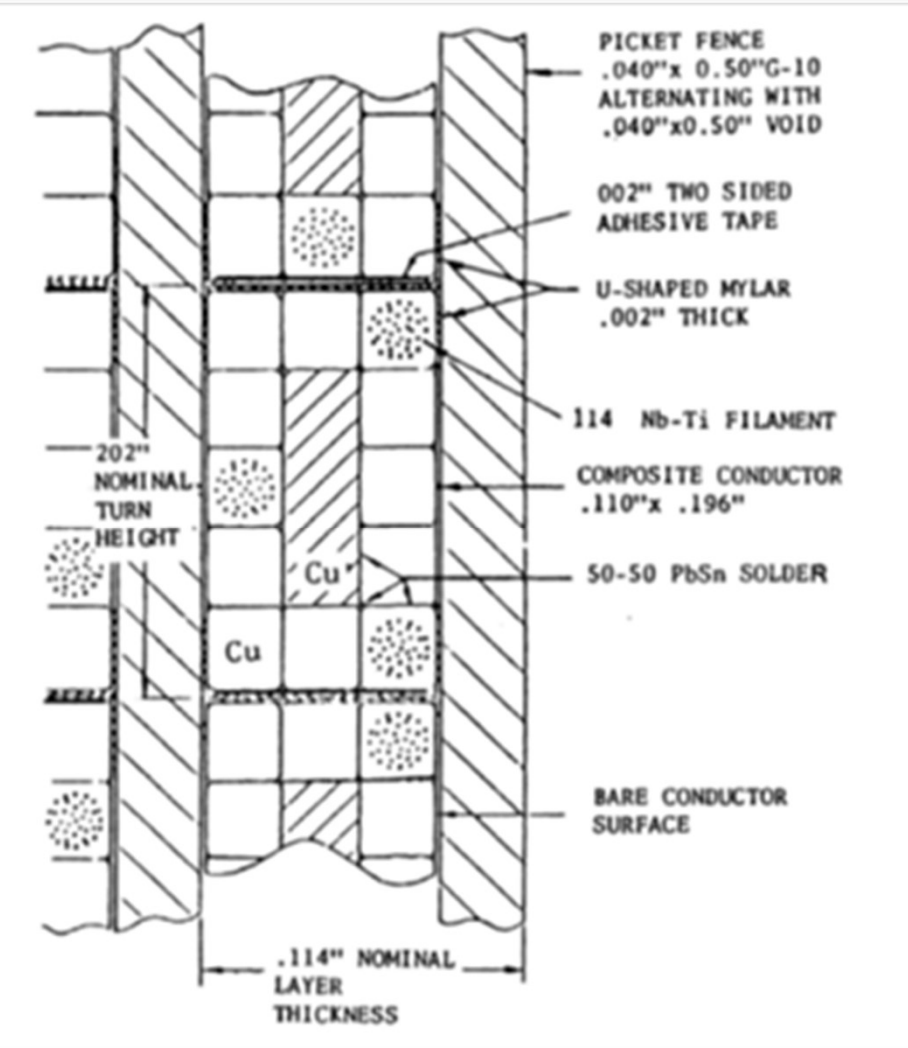
Henry Blosser, 1928-2013



<https://snf.ieee-csc.org/obituary/henry-blosser>

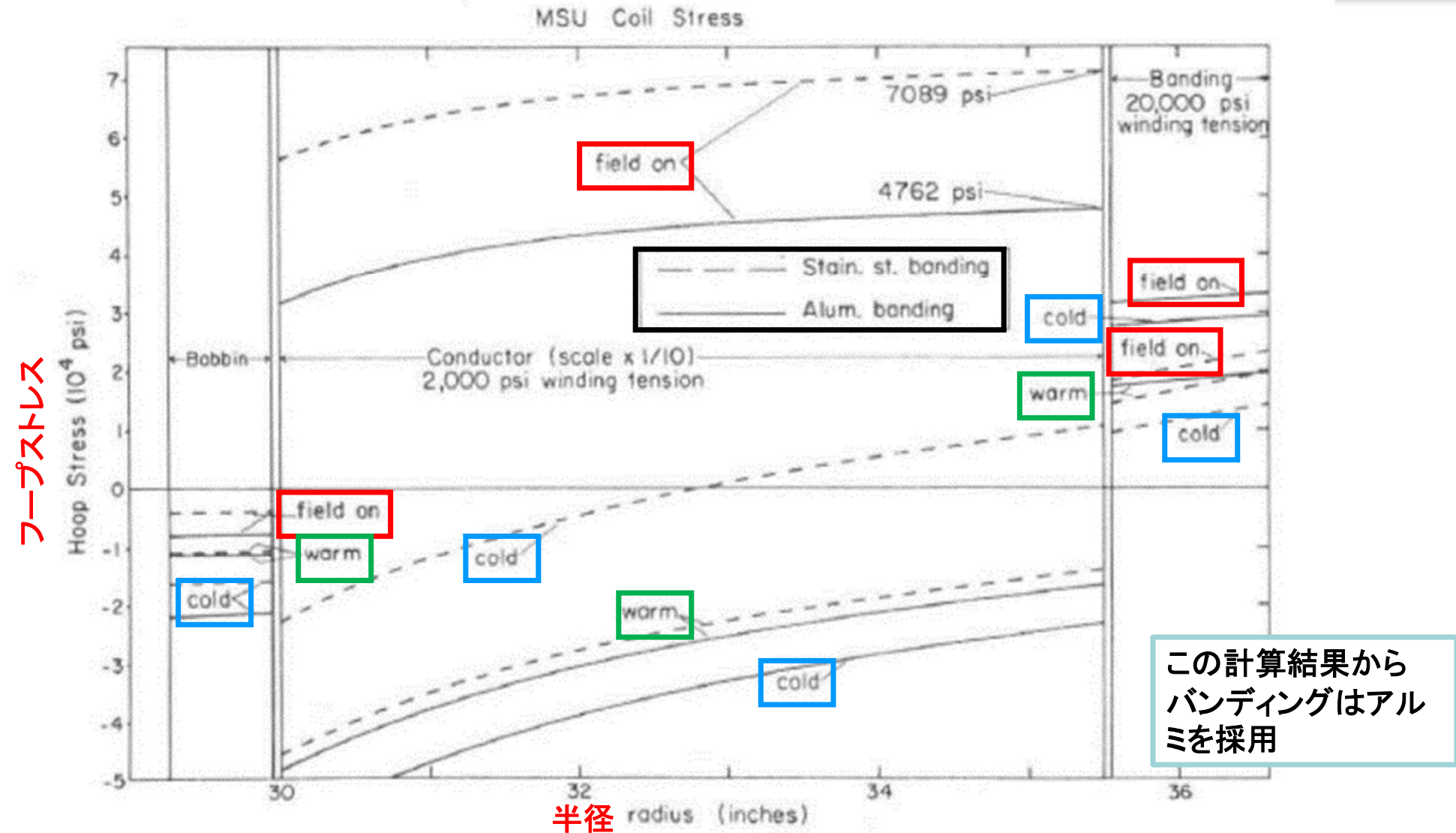


K500用の超伝導導体



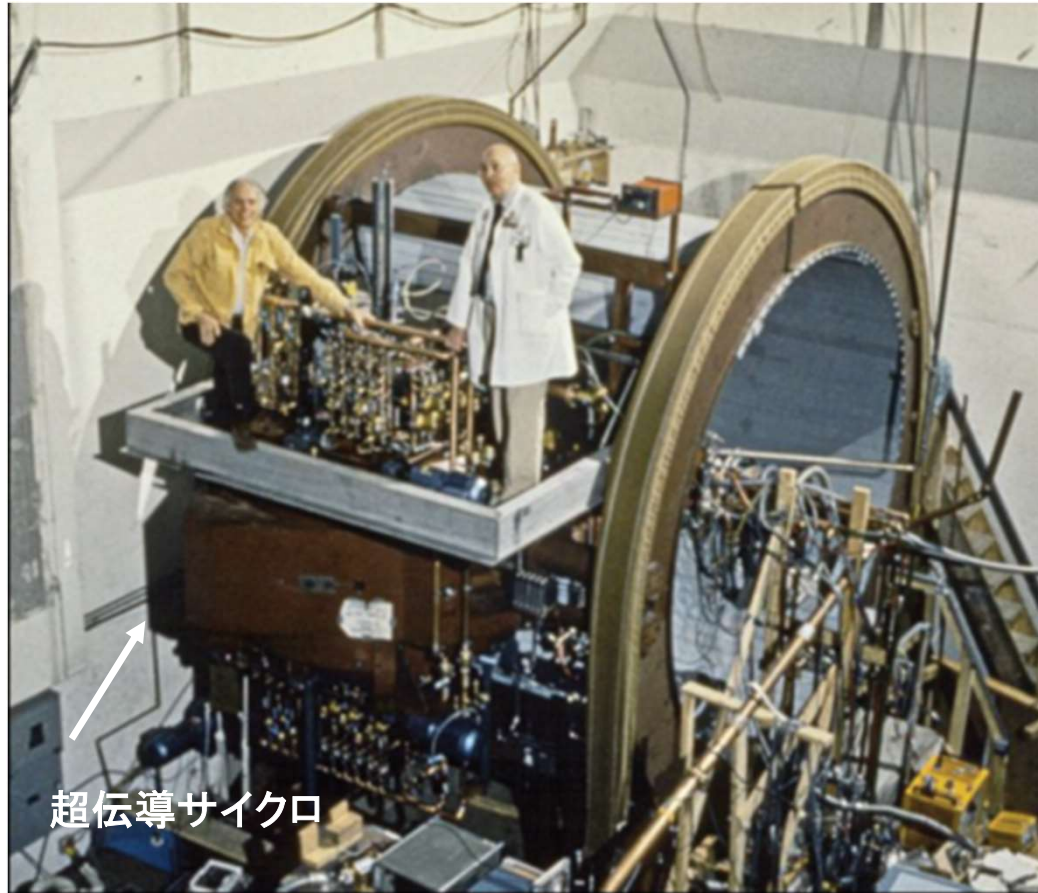
Size: 0.110 inch x 0.196 inch

コイル内の応力の履歴



- (1) コイル容器内の液体ヘリウム低で最大励磁からのクエンチ（空焚き）
 - (2) 断熱真空の破れ
 - (3) 断熱支持棒の損傷。
 - (4) コイル内には小さな切子がある様で、ショートがあり、定常状態では問題にならないが、励磁や減磁の際には“ミニクエンチ”という興味深い現象が起きていた。
- (3) に関連して、
- ビーム軌道面を挟む形で設置されている一対のコイルは互いに引き合うが、コイル全体は不安定な位置に置かれているという事である。つまり、コイル全体の位置の微小なずれに対して復元力が働くわけではなく、そのずれを助長するような向きに力が働くという事である。そのため、鉛直方向の支持棒は、その負のばね定数より十分大きいばね定数を持っている必要がある。この設計を誤るとコイルを損傷することになるため、気を付ける必要がある。**(Superferic
磁石の落とし穴)**

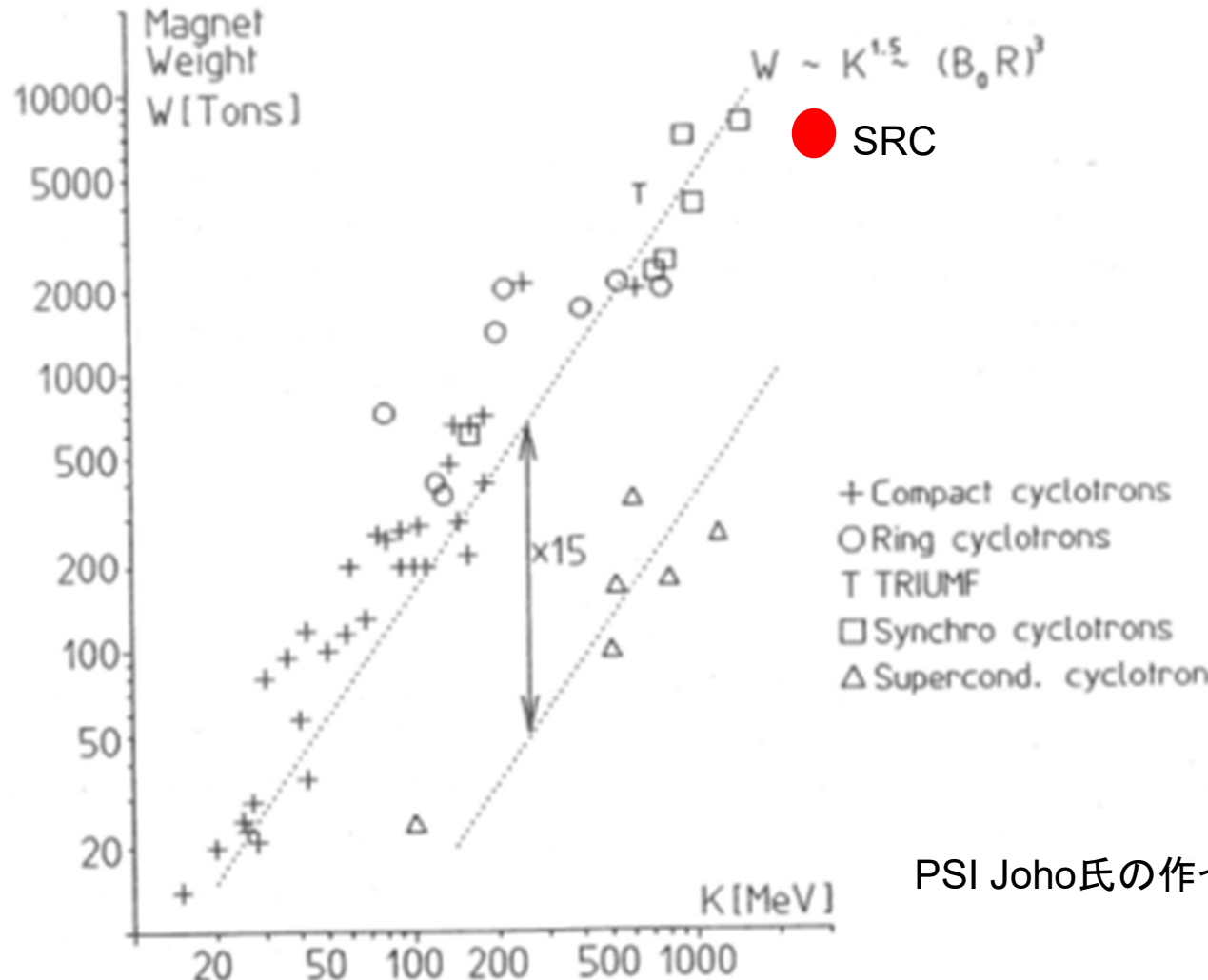
K500後の超伝導サイクロトロン



K500 MSU (USA)
K520 Chalk River (Canada)
K1200 MSU (USA)
K800 Milano (Italy)
K500 Texas AM (USA)
K600 AGOR (Netherland)
K500 Calcutta (India)

デトロイト病院に納められた中性子がん治療用の回転可能な超伝導サイクロトロン(軽量化のためにできる事)

超伝導サイクロトロンの重さ



サイクロトロンを超伝導化することにより15倍軽くなる。

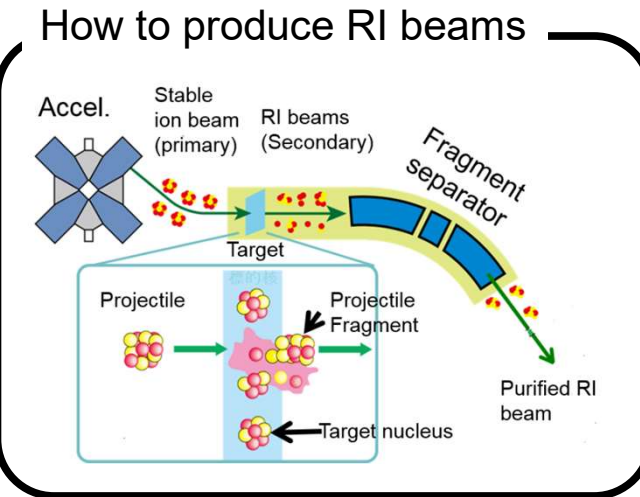
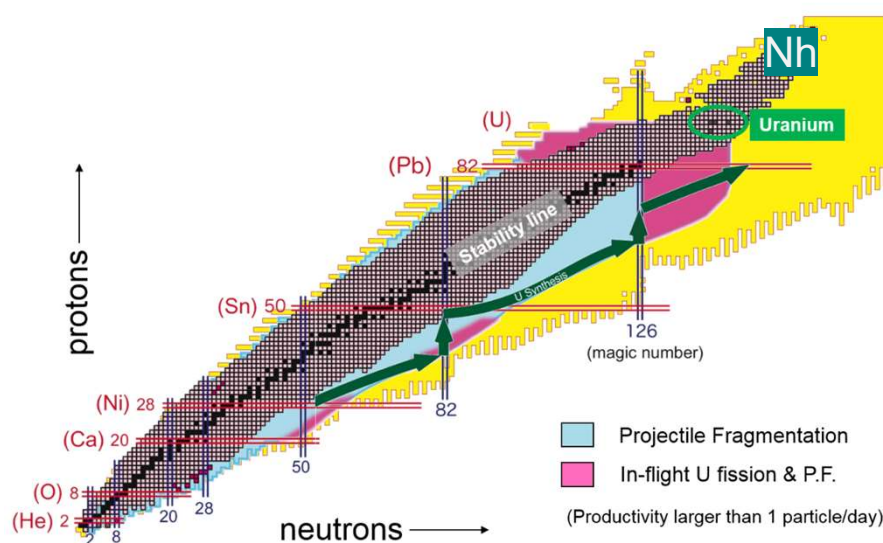
SRCの重さは常伝導サイクロトロン

超伝導リングサイクロトロン@RIビームファクトリー

| 項目 | MSU | SRC |
|---------|------------|--------------|
| 重さ | AVFサイクロトロン | リングサイクロトロン |
| 重さ | 100ton | 8300ton |
| 蓄積エネルギー | 18MJ | 245MJ |
| コイル | 円形コイル | 非円形コイルの組み合わせ |
| コイル冷却 | 浸漬冷却 | 浸漬冷却 |
| 鉄の使用 | Superferic | Superferic |
| その後の適用例 | 多数 | ゼロ |

Goal of RIBF

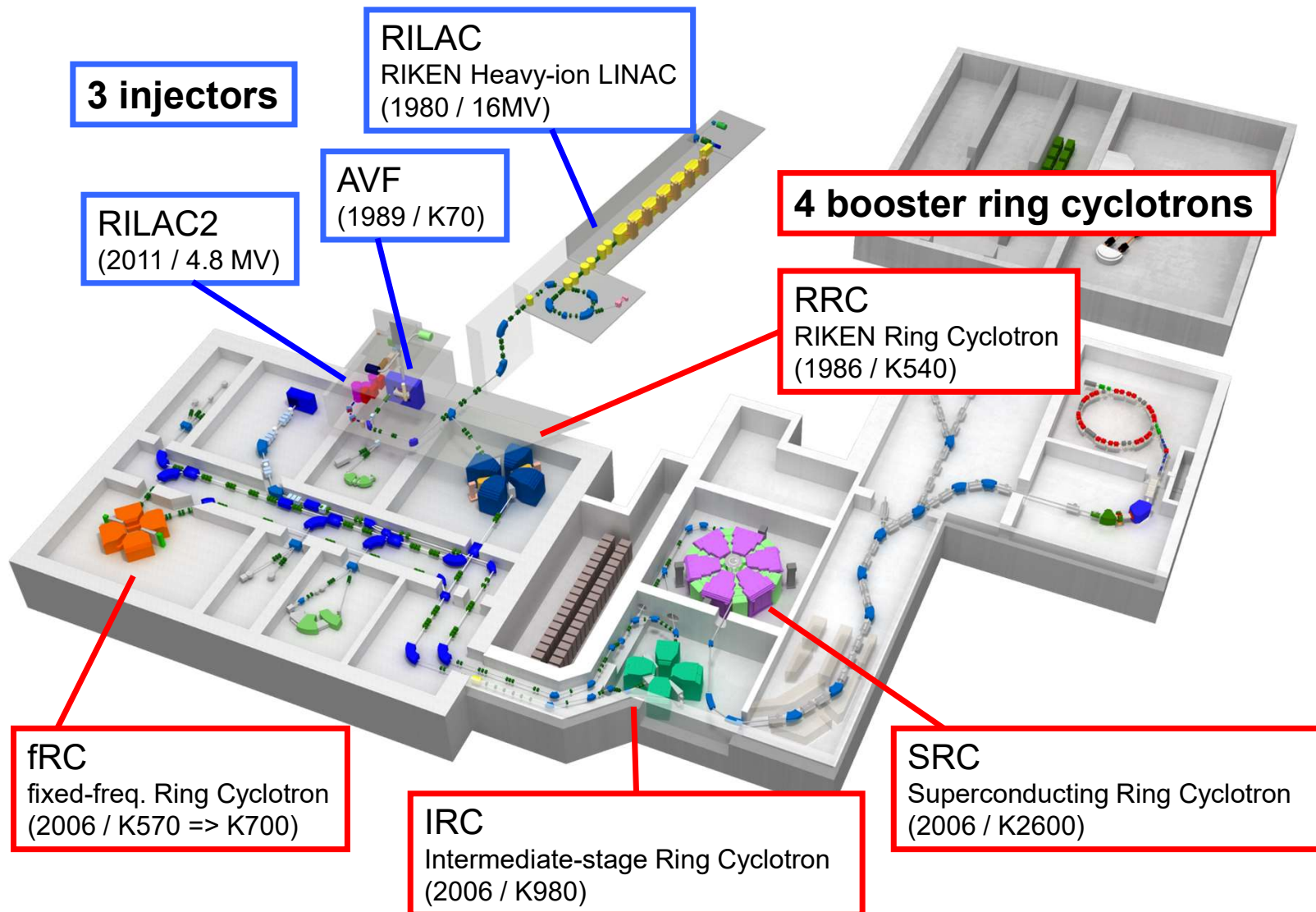
- Great expansion of the nuclear chart (new 1000 kinds of isotope, exotic nuclei)
- Challenge to solve the big puzzle of element genesis (r -process = U-synthesis)
- Promotion of industrial and biological applications



Tetra neutron

- RI beams are generated by fragmentation or fission of high-speed heavy ion beams.
- Accelerator complex is required to produce high speed heavy ion beams with high intensity.

RIBF accelerators

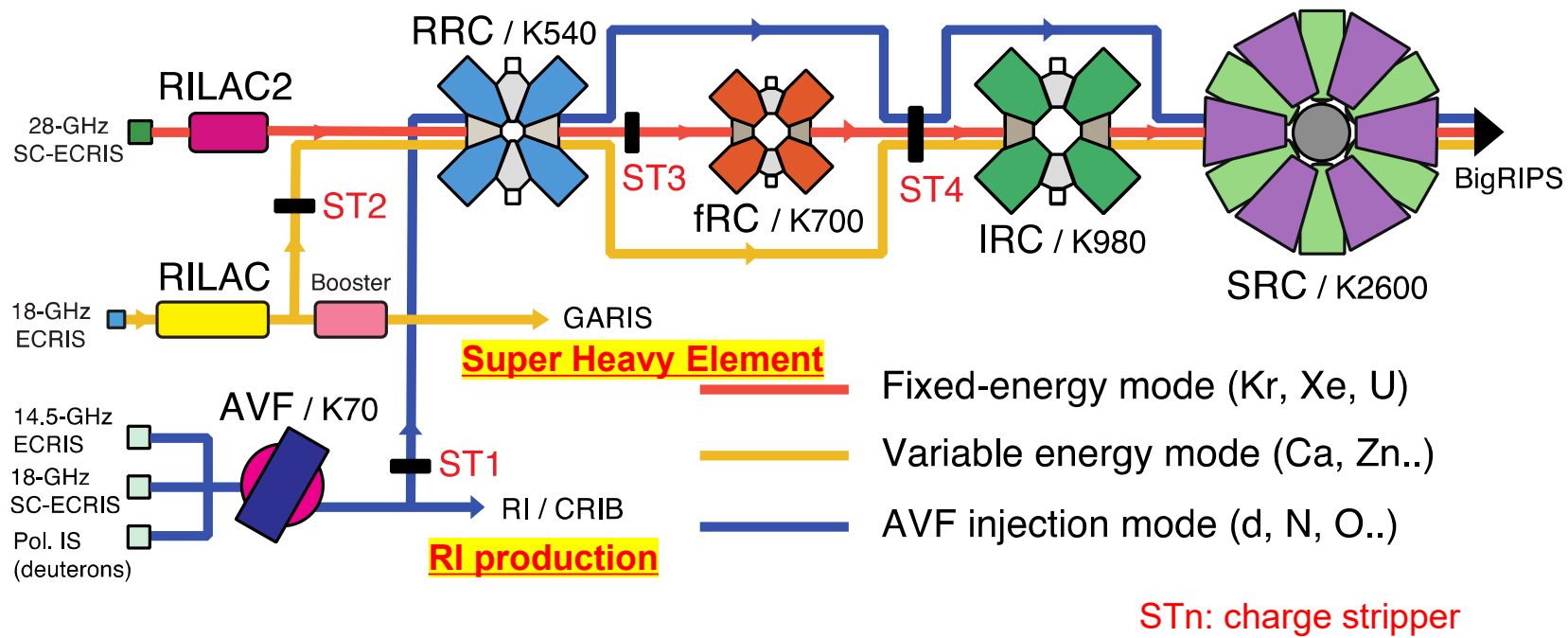


Acceleration modes

Accelerate ALL ions (from H_2^+ to U), up to 70% of the light speed, in CW mode

3 injectors + 4 booster ring cyclotrons

- 1) AVF-injection mode (< 440 MeV/u) : d, He, O, ...
- 2) Variable-energy mode (< 400 MeV/u) : Ar, Ca, Zn, Kr, ...
- 3) Fixed-energy mode (345 MeV/u) : Xe, U ...



Specifications of RIBF ring cyclotrons

| | RRC (1986~) | fRC | IRC | SRC |
|---------------------------------------|----------------|-------|-------|------------------------|
| K-number (MeV) | 540 | 700 | 980 | 2600 |
| R_{inj} (cm) | 89 | 156 | 277 | 356 |
| R_{ext} (cm) | 356 | 330 | 415 | 536 |
| Weight (tons) | 2400 | 1300 | 2900 | 8300 |
| Sector magnets | 4 | 4 | 4 | 6 |
| Number of trim coils (/ main coil) | 26 | 10 | 20 | 4 (SC) 22 (NC) |
| Trim coil currents (A) | 600 | 200 | 600 | 3000 (SC) 1200 (NC) |
| RF resonators | 2 | 2+FT | 2+FT | 4+FT |
| Frequency range (MHz) | 18~38 | 54.75 | 18~38 | 18~38 |
| Acceleration voltage (MV)* | 0.28 | 0.8 | 1.1 | 2.0 |
| Turn separation (cm)* | 0.7 | 1.3 | 1.3 | 1.8 |

Challenging



*uranium acceleration

SC : superconducting, NC : normal conducting, FT : flattop resonator



SRC:ギネス世界記録®に登録。何が世界一なのか？

- ビームエネルギー最大値のサイクロトロン(Highest beam energy cyclotron) 82400MeV
- (マニアックすぎる) K値 : $K=2600 \text{ MeV}$ (加速粒子の磁気剛性) 238 X 346.2 MeV/u
- (重さが測るのが大変) 重いサイクロトロン (8300 トン)
- 大きさ(直径) は2番目 (1位はTriumf)
- 昔欧米の研究者は製作不能と言う結論を出した (幻のサイクロトロン) ←日本の技術力



2022年4月11日登録
(埼玉県和光市)



2022年3月28日エネル
ギー測定 (KEK下村先生、
QST羽島先生立ち合いの
元)



東京スカイツリー
40000 ton

SRC
8300ton
↑
x2
↑

東京タワー
4000 ton



SRC: 超伝導リング サイクロトロン

K = 2,600 MeV

最大磁場: 3.8T (235 MJ)

Rf 周波数: 18-38 MHz

重さ: 8,300 tons

直径: 19m 高さ: 8m

セクター電磁石 : 6

Rf 共振器 : 4

入射機器:

取り出し機器:

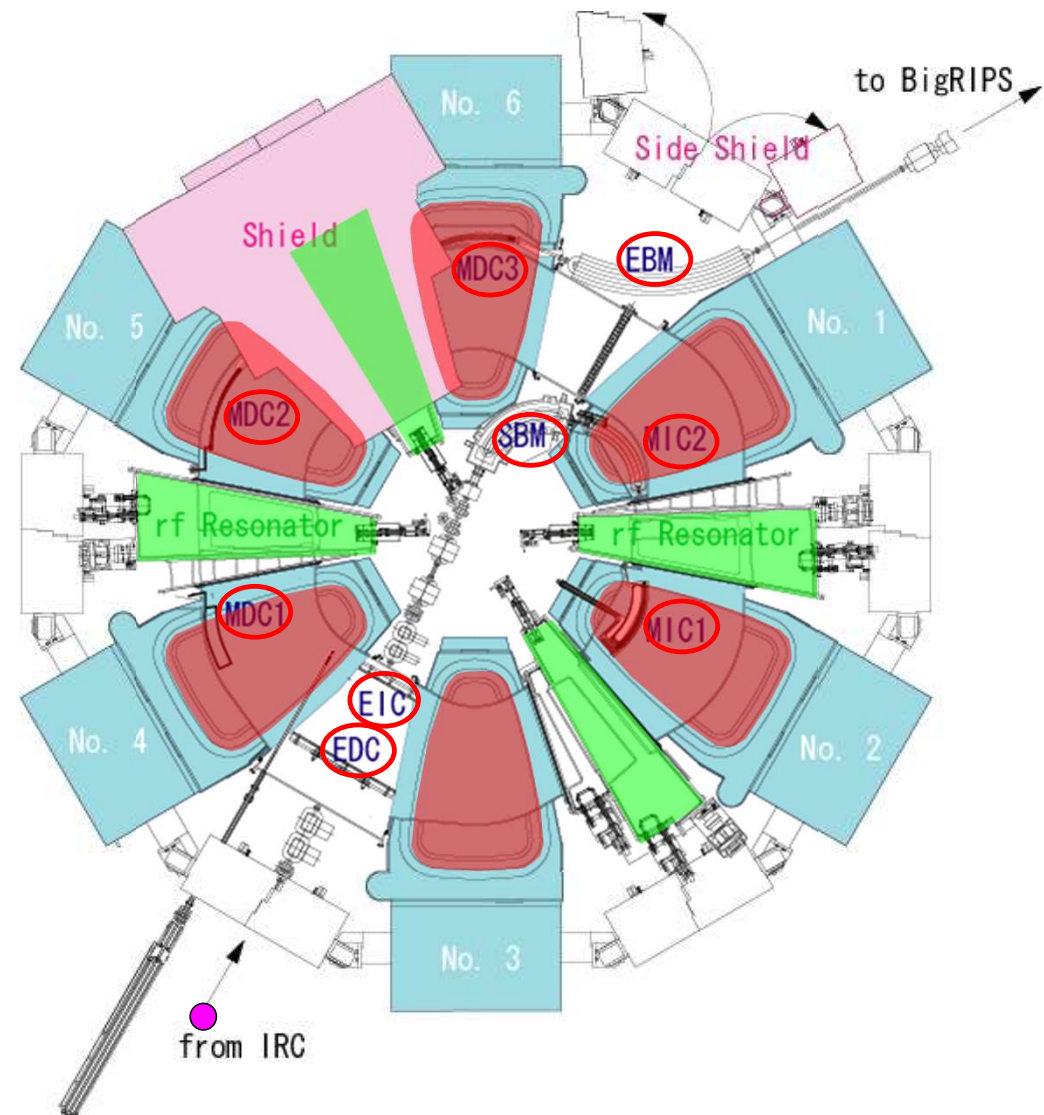
自己磁気遮蔽

自己放射線遮蔽

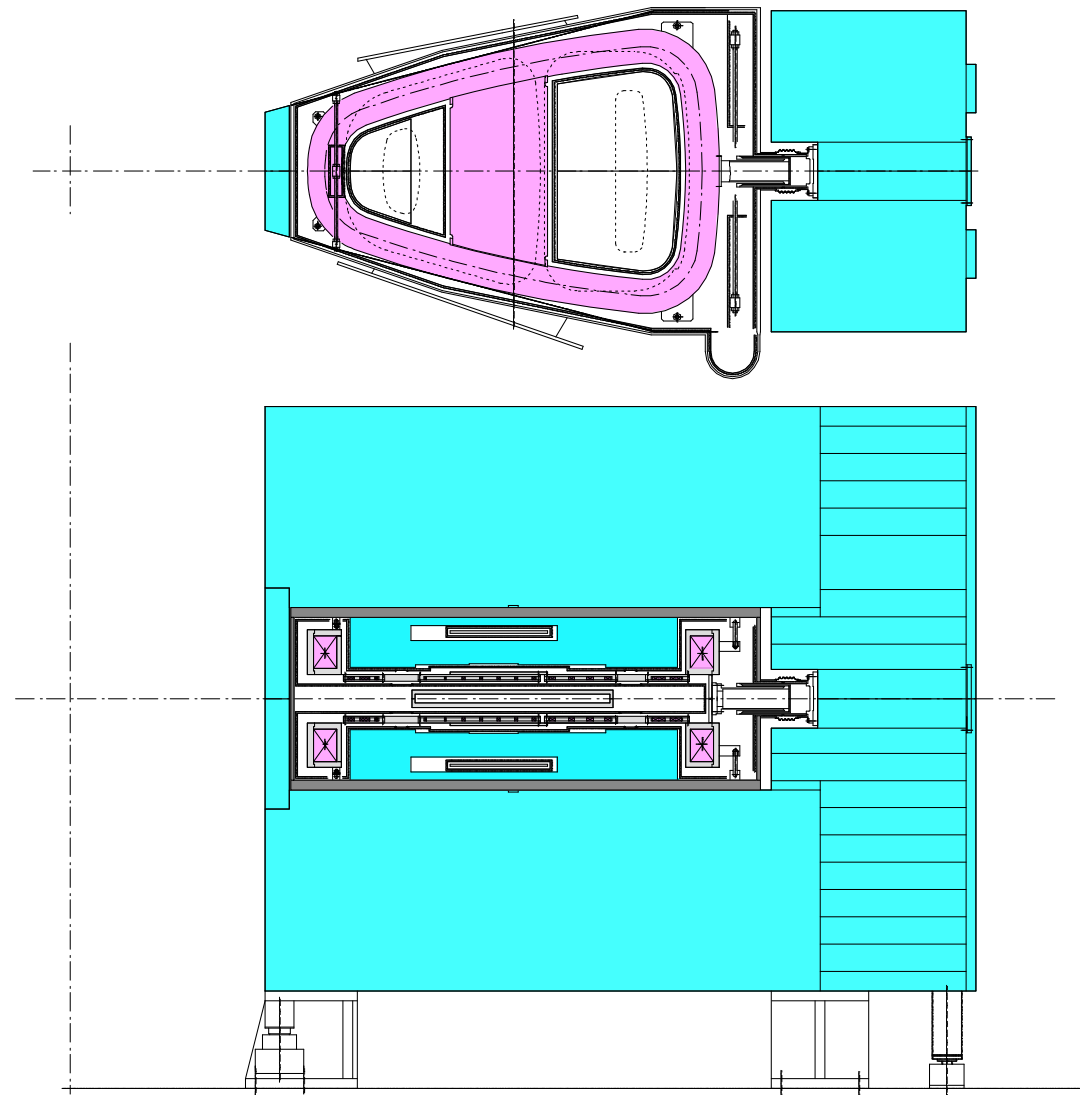
SRCの中の超伝導磁石

1) セクター磁石

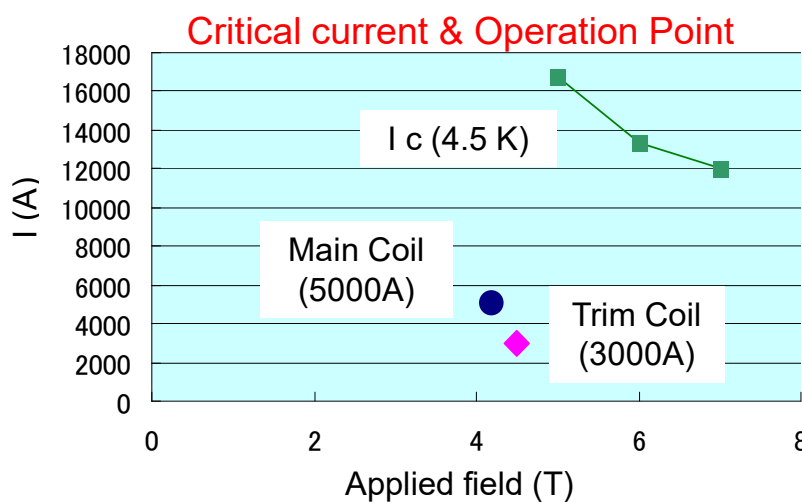
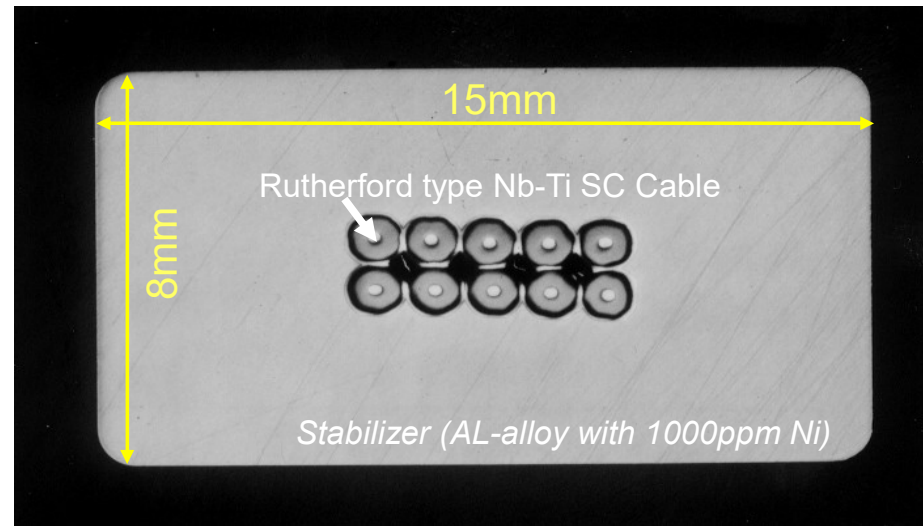
2) 入射用超伝導偏向磁石



セクター磁石



Superconductor(AI安定化導体)

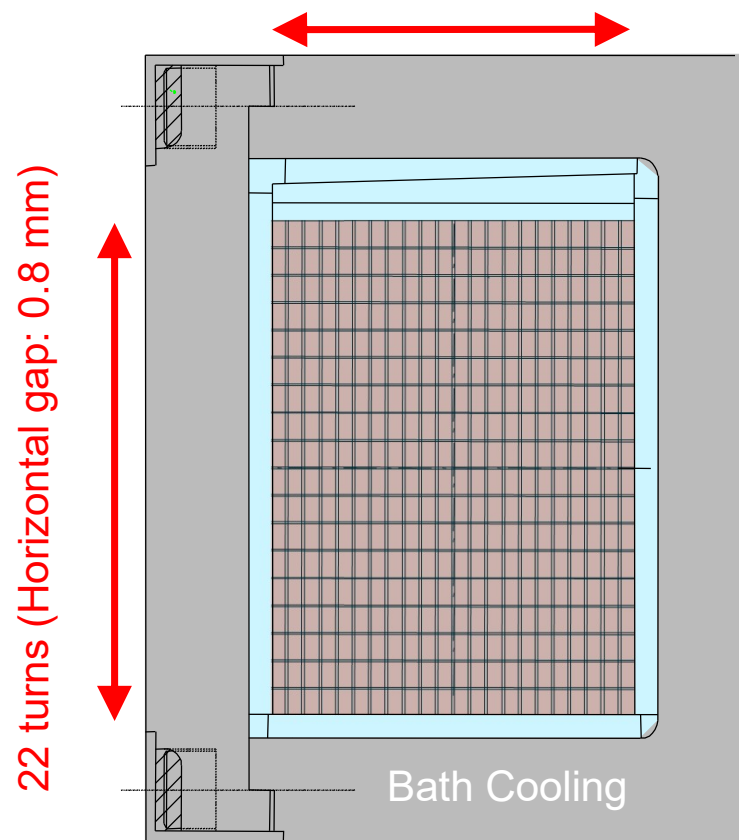


Yield Strength > 56.2 MPa
(cf. 40 MPa for pure Al)
RRR of Al > 803

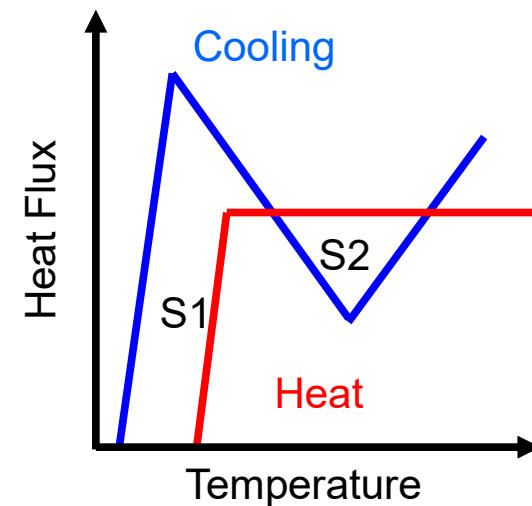
Structure of the Main Coil Block

Solenoid winding with 396 turns

18 layers (Vertical gap: 1.5 mm)



Cooling Channel (50 %)

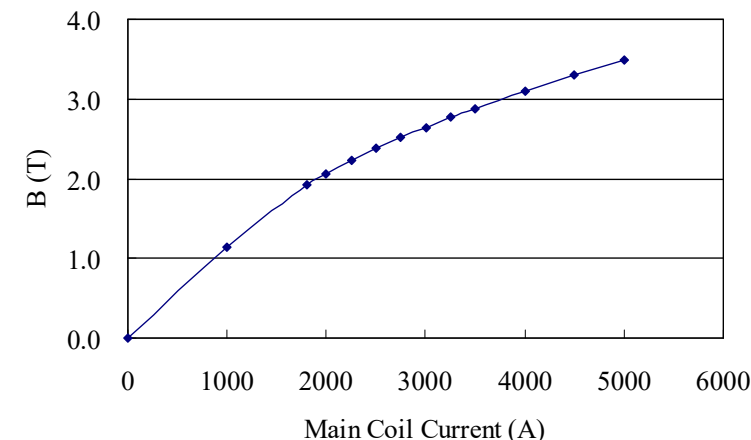


$S1=S2 \rightarrow$

Maddock Stabilization current: 6300A

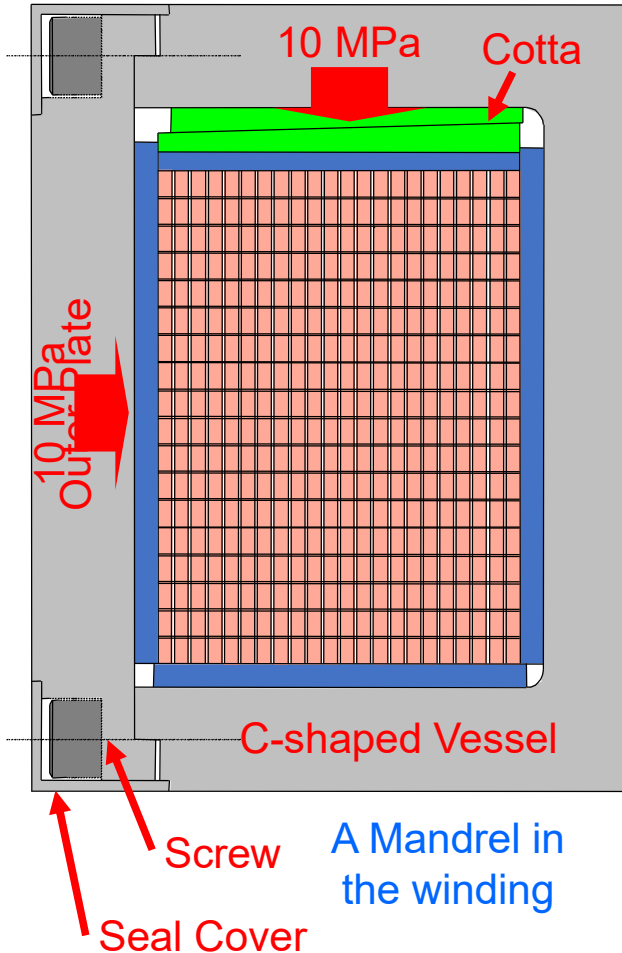
> Operational Current: 5000 A

Excitation curve ($R=5.4\text{m}$)



Fabrication of the Main Coil

Accuracy of the Center of the Coil < ± 1 mm



Tension of 20 MPa

Superconducting trim coil

#Four sets of coils

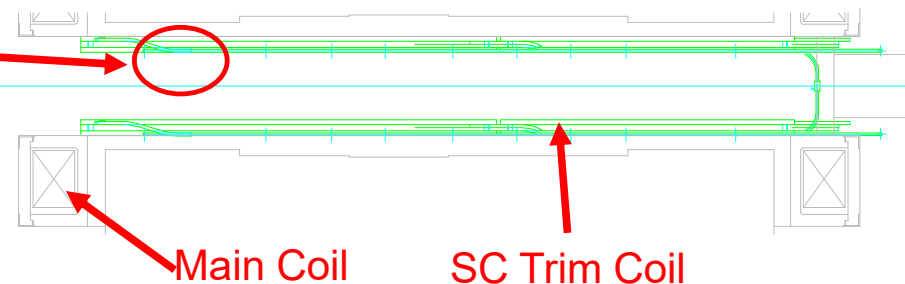
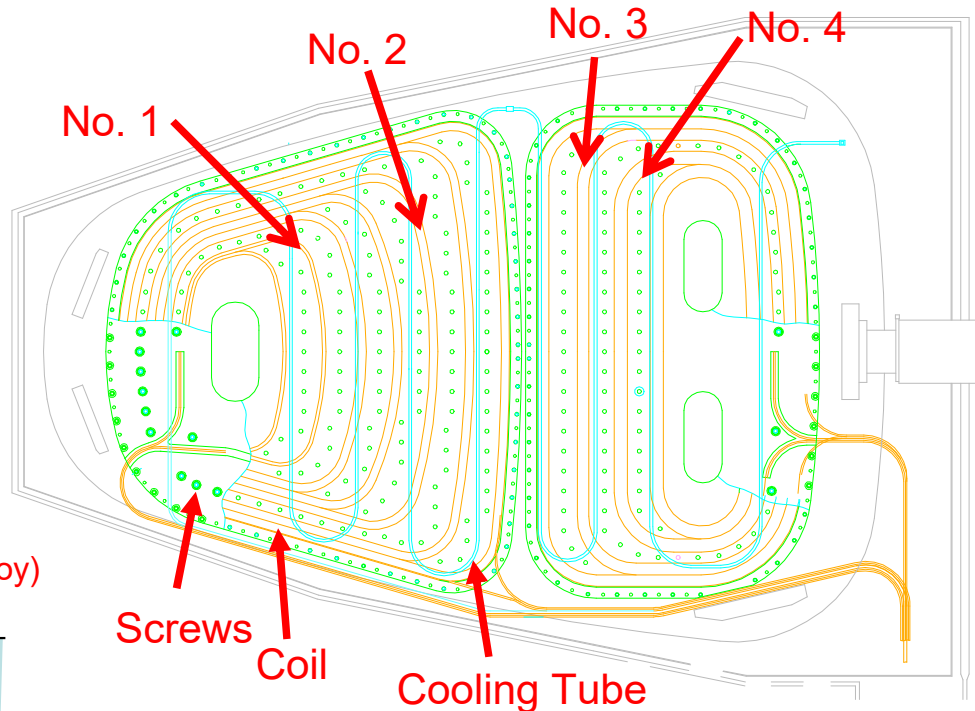
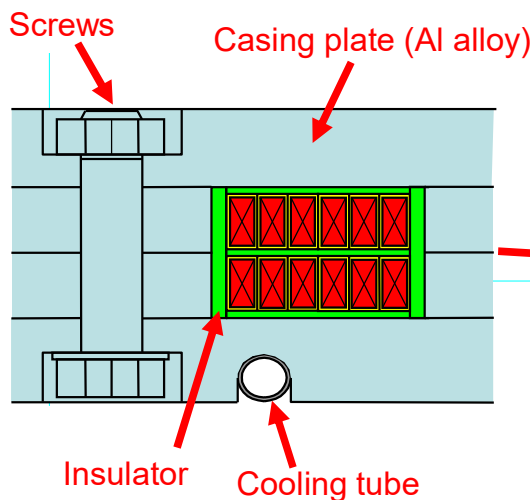
I max = 3000 A

#Double pancake winding

#Indirect cooling

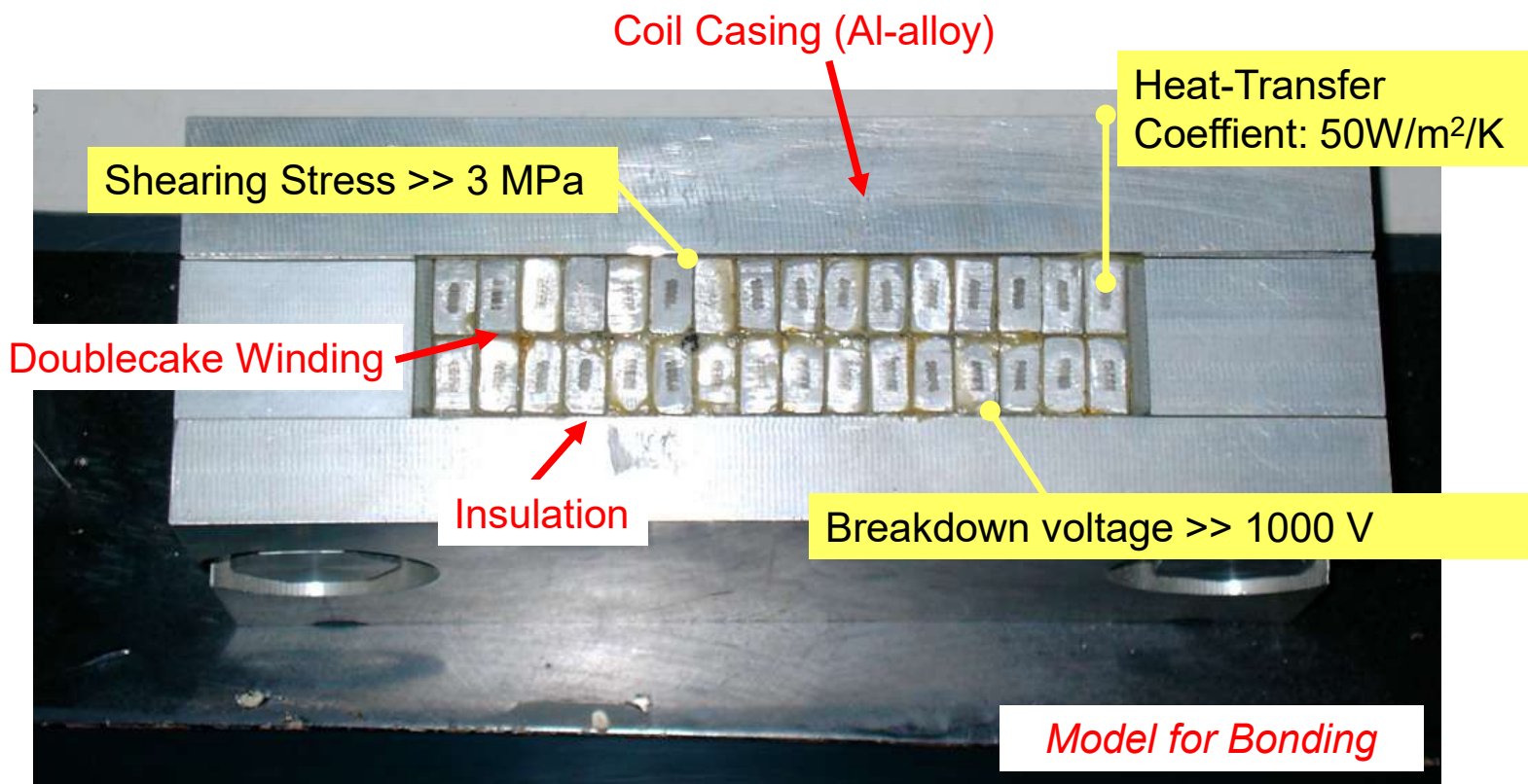
by forced 2 phase helium

#Temp. margin ~2.1K

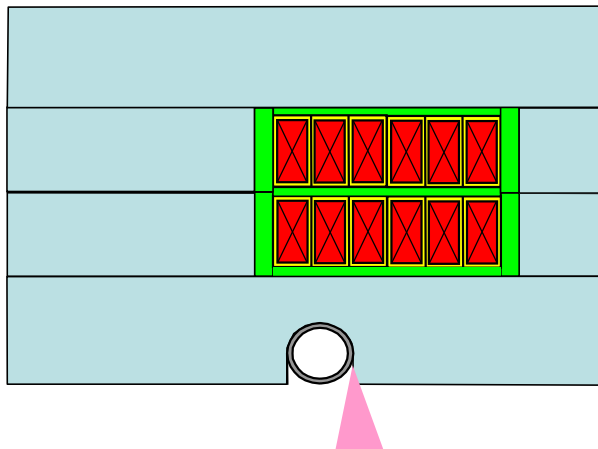


Structure of the SC Trim coil

Bonding of the coils and casing, which satisfied the following three condition, was studied.

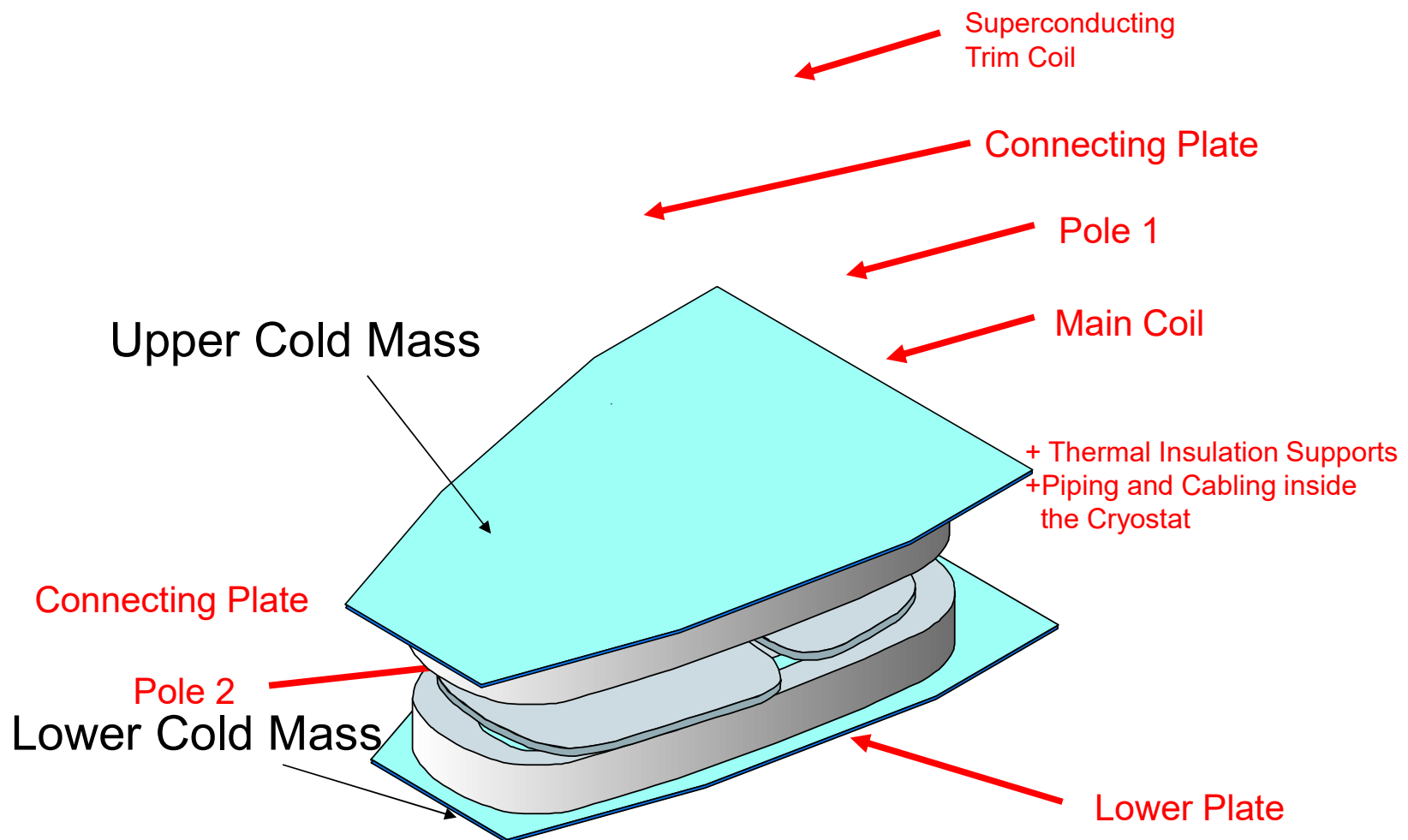


Fabrication of the SC Trim Coil



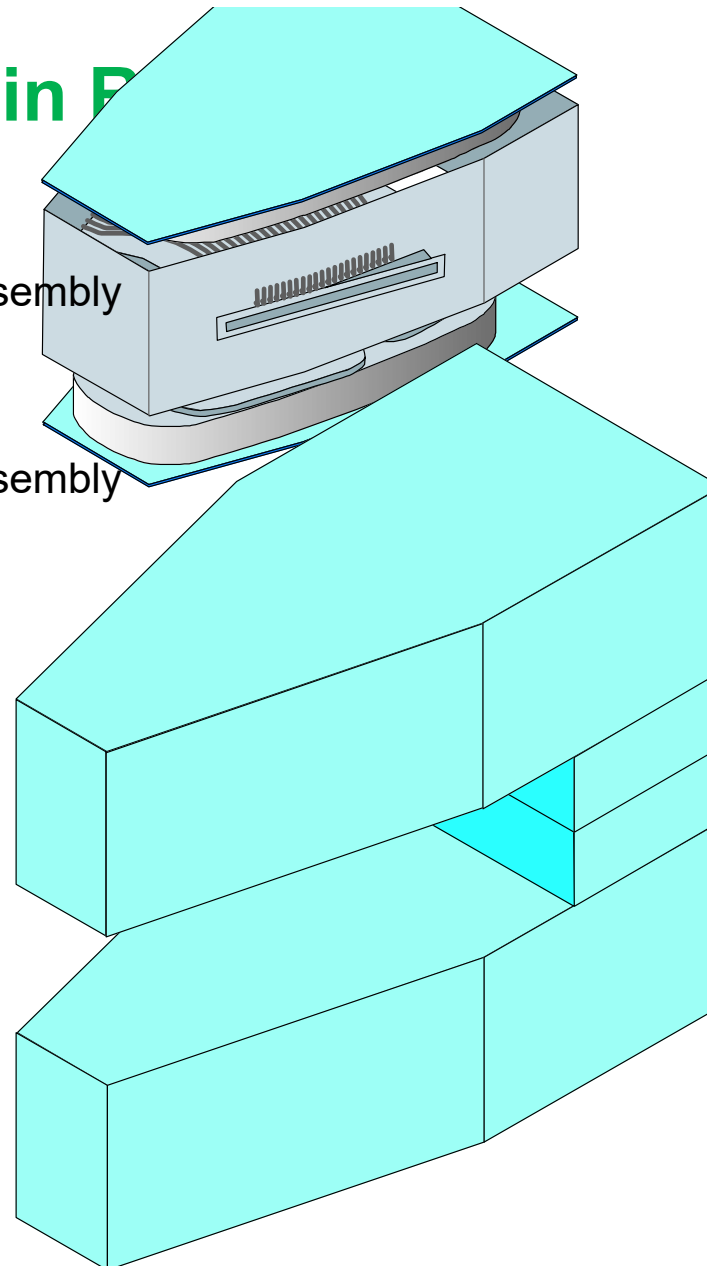
The coil is cured at about 150 degree with a pressure of 2 MPa.

Structure of the cold mass unit



Assembling in F

1. Lower Yoke
2. Lower Cold Mass Assembly
3. Cryostat
4. Upper Cold Mass Assembly
5. Upper Yoke

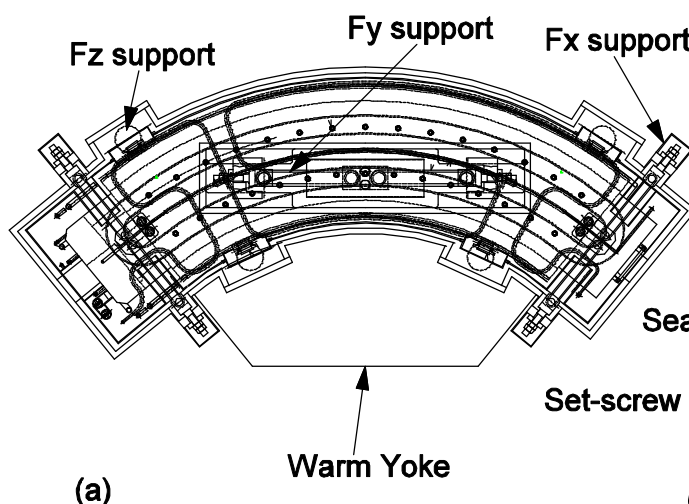




SRCの組み
立ての様子

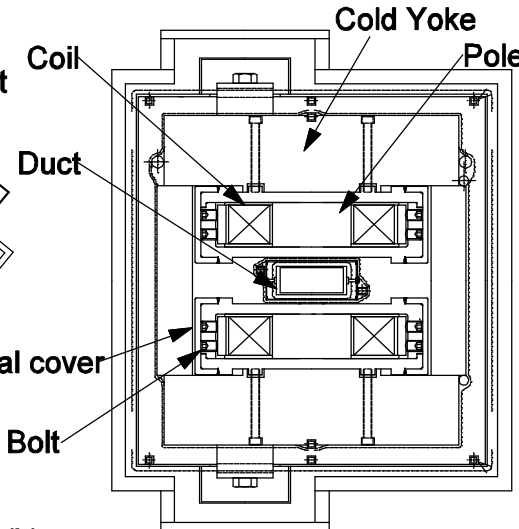
Specifications of SBM

Plan view



(a)

Cross sectional view of the cryostat



(b)

Specifications

| | |
|---------------------|---------------------------------|
| Required field : | 3.8 T @363 A |
| Stored Energy: | 0.56 MJ |
| Homogeneity: | few $\times 10^{-3}$ |
| Beam Bore: | 40 (H) x 30 (V) mm ² |
| Radius: | 1208mm |
| Bending Angle: | 75.72 deg. |
| Coil cross section: | 55 x 58 mm ² |

Trajectory is bended.

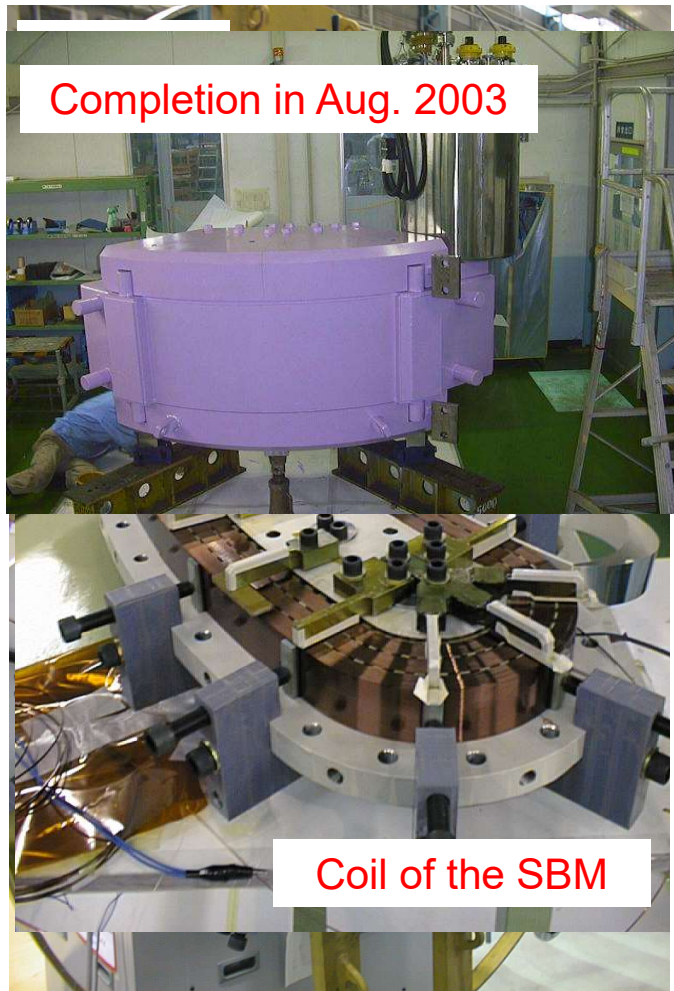
→The coil should be bended.

→Coil winding is the key issue.

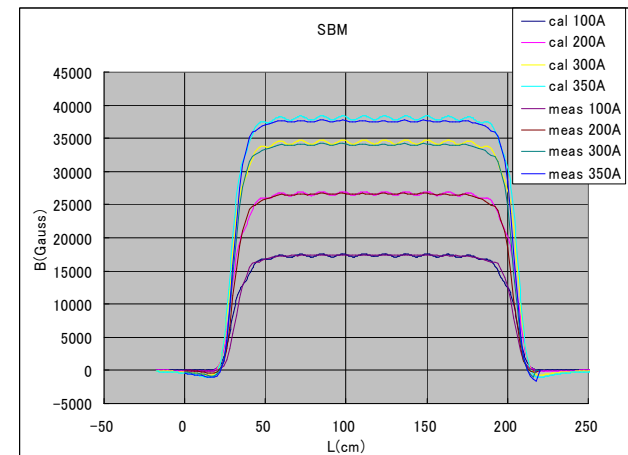
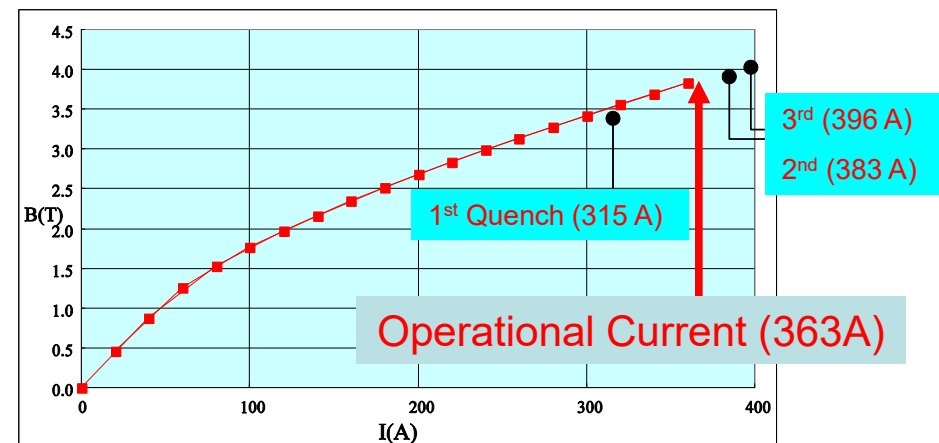
(Negative curvature)

Coil Winding & First Excitation of SBM

Cabling of Superconducting Wires



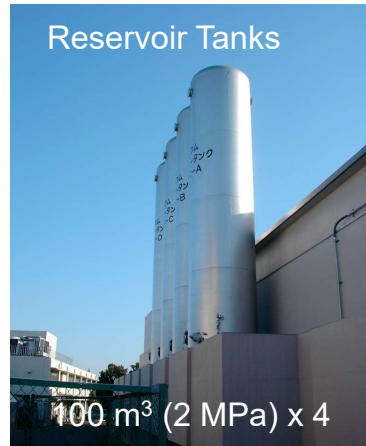
Results of the First Excitation



Cool-down and excitation test of the SRC

| Date | Events | Date | Event |
|----------------------|--|---------------------|--|
| 05/8/30 – 05/9/17 | Purification (N2:< 0.5ppm) | 05/11/6 | Excitation test (Imain = 5000 A (Max.)) |
| 05/9/19 | The 1 st Cool-down started | 05/11/7 | Exciation test (Imain = 5000 A, Itrim = 3000 A) |
| 05/10/13 1:00AM | All the main coils transited to superconducting state. | 05/11/8 | <i>Trouble due to a He leak</i> |
| 05/10/16 | Level of liquid helium reach up to the operation level. | 06/3/16- | The 2 nd Cool-down started. |
| 05/10/21 | Excitation test started. (Imain =100A) | 06/4/15 | Full excitation again |
| 05/10/27 | Excitation test (Imain=1000 A, Itrim=1000A) | 06/4/17- 06/6/14 | Field measurements |
| 05/10/31 | Exciation test (Imain = 3000 A, Itrim = 3200 A (Max.)) | 06/6/14 | Fast shutdown test from full excitation |

Cryogenic Cooling System for the SRC

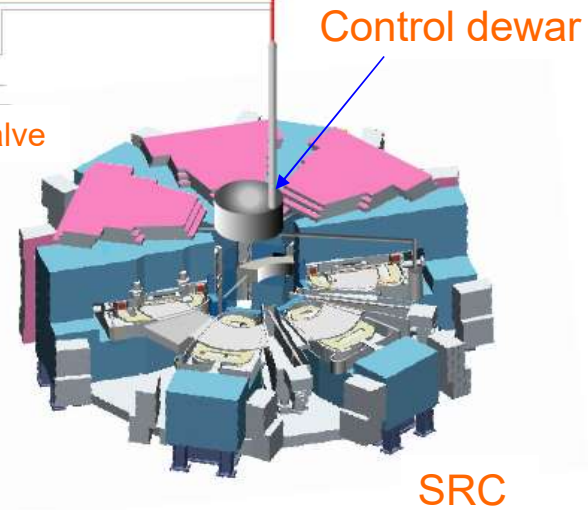
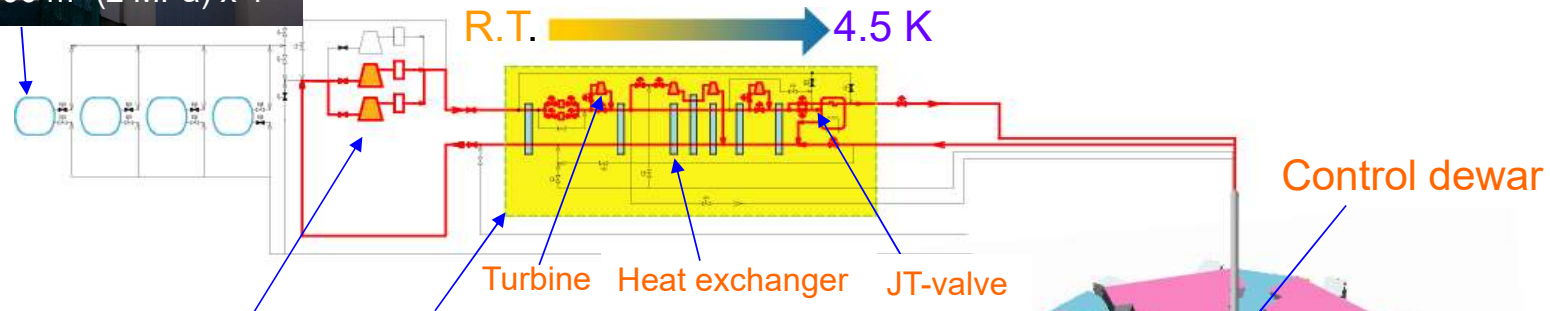


Cooling Capacity
620 W @ 4.5 K
4000 W @ 70 K
4 g/s for cooling of C. L.

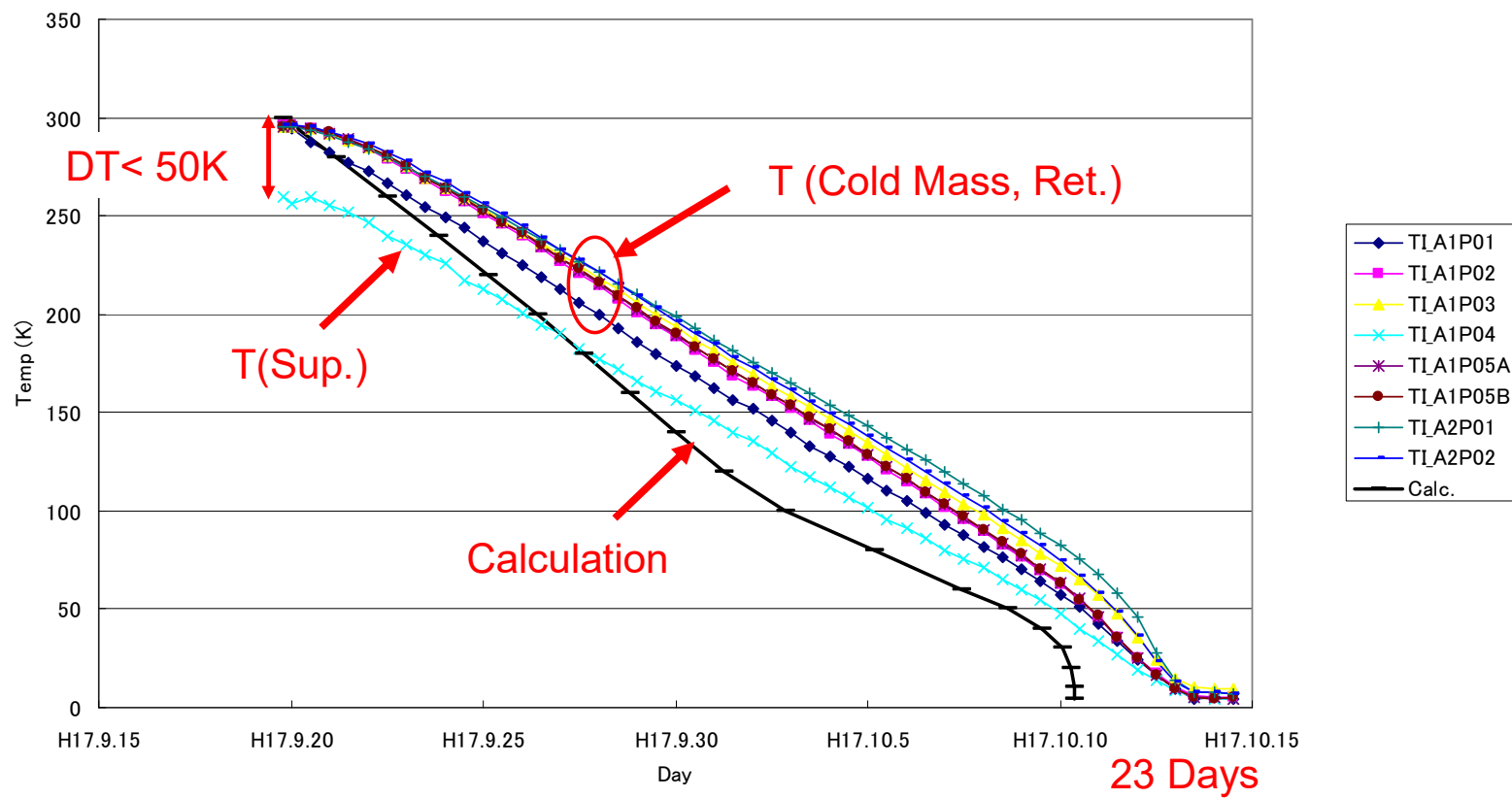
>>

Heat Load
470 W @ 4.5 K
2800 W @ 70 K
3 g/s for cooling of C.L.
21 days for initial cooling

Trial run in Dec. 2004



Cool-down curve in the first trial



Power supplies and coil protection

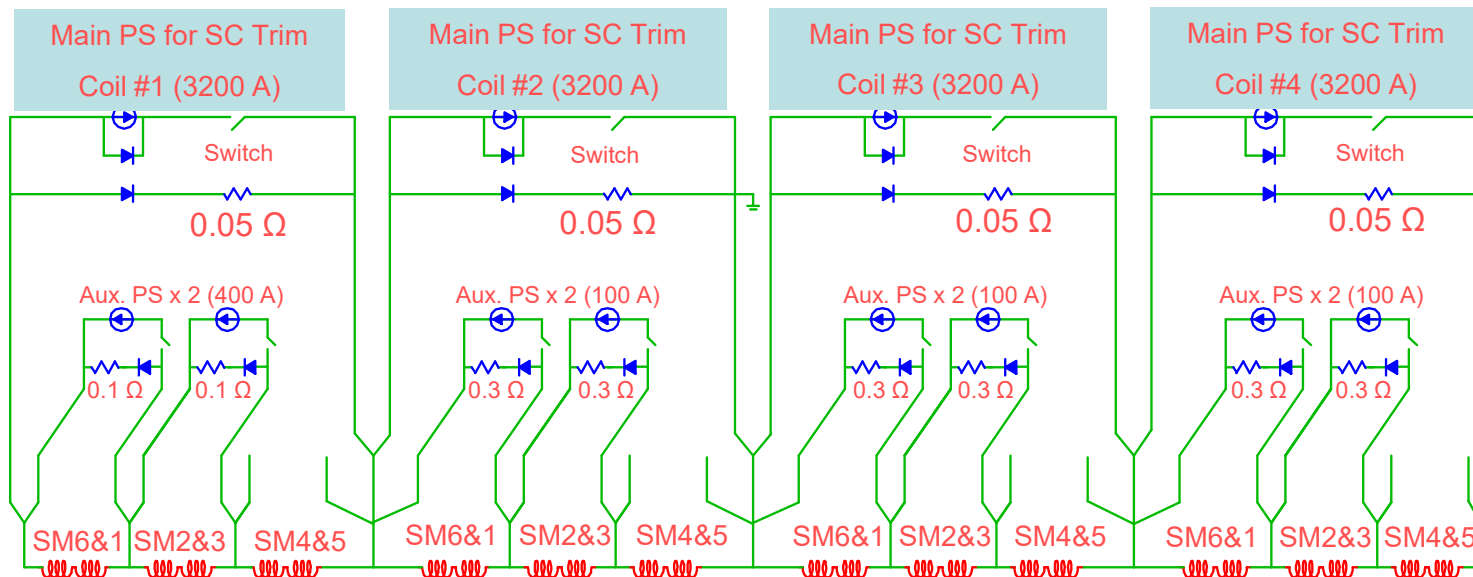
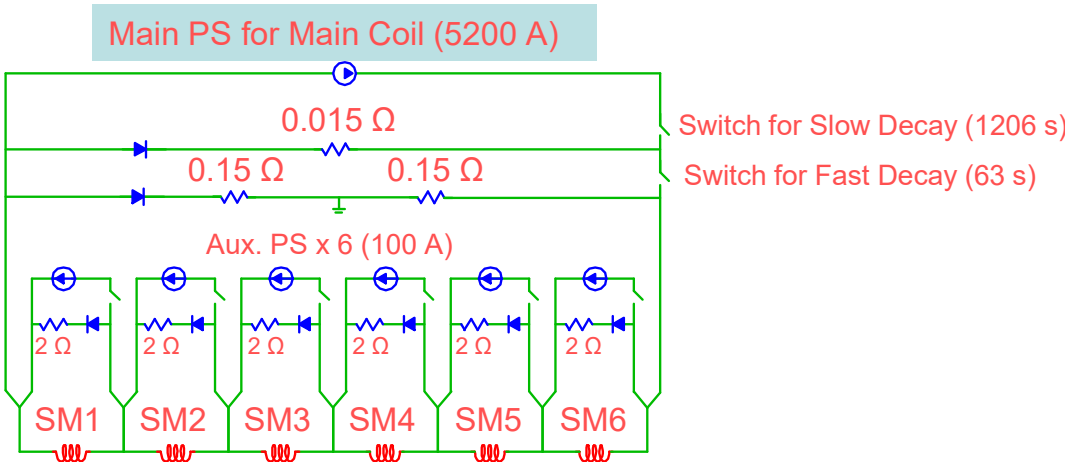
1: Quench characteristic

Current decay: 63 s

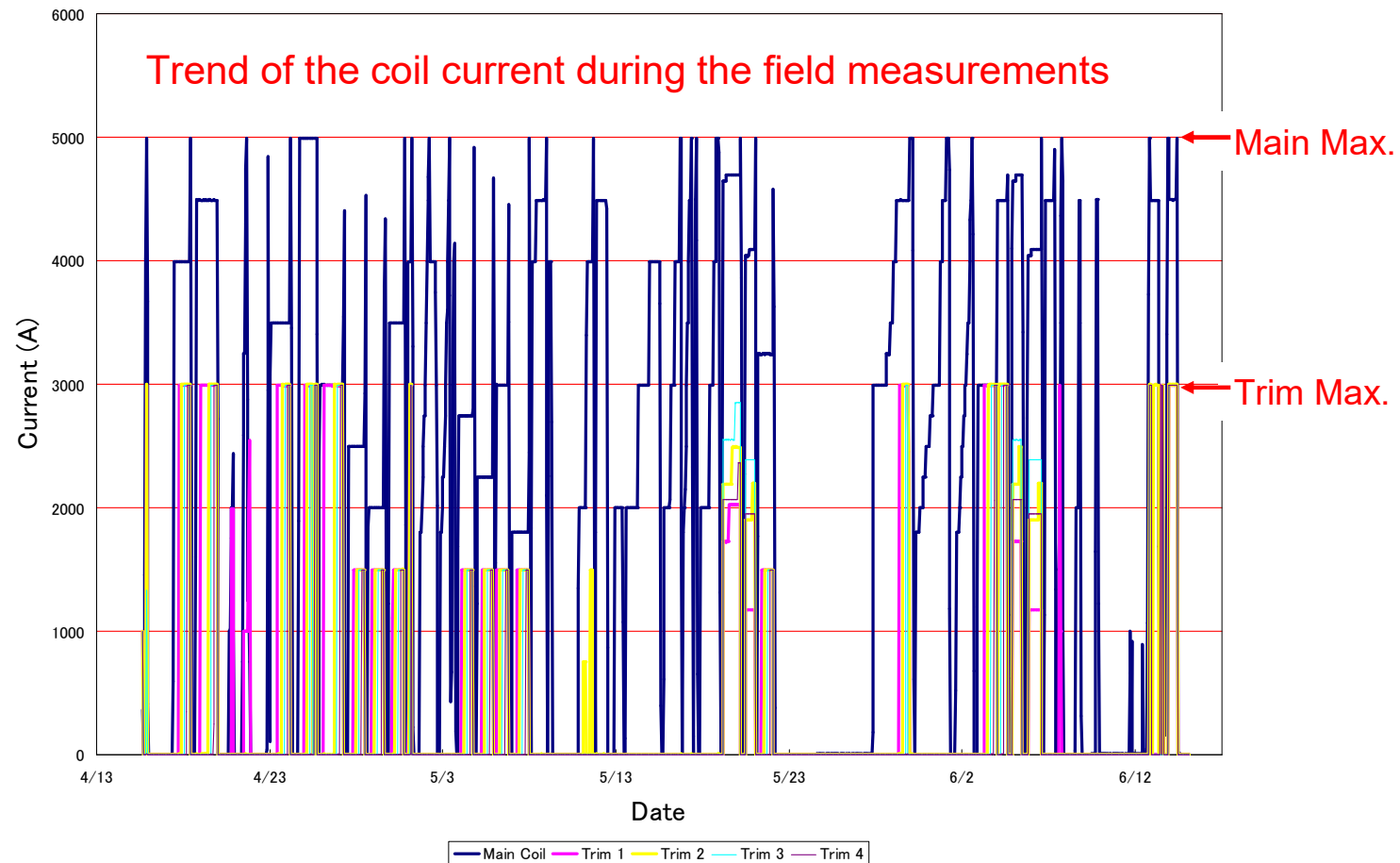
Temp. rise: 140 K

Volt. Development: 1.5 kV/2

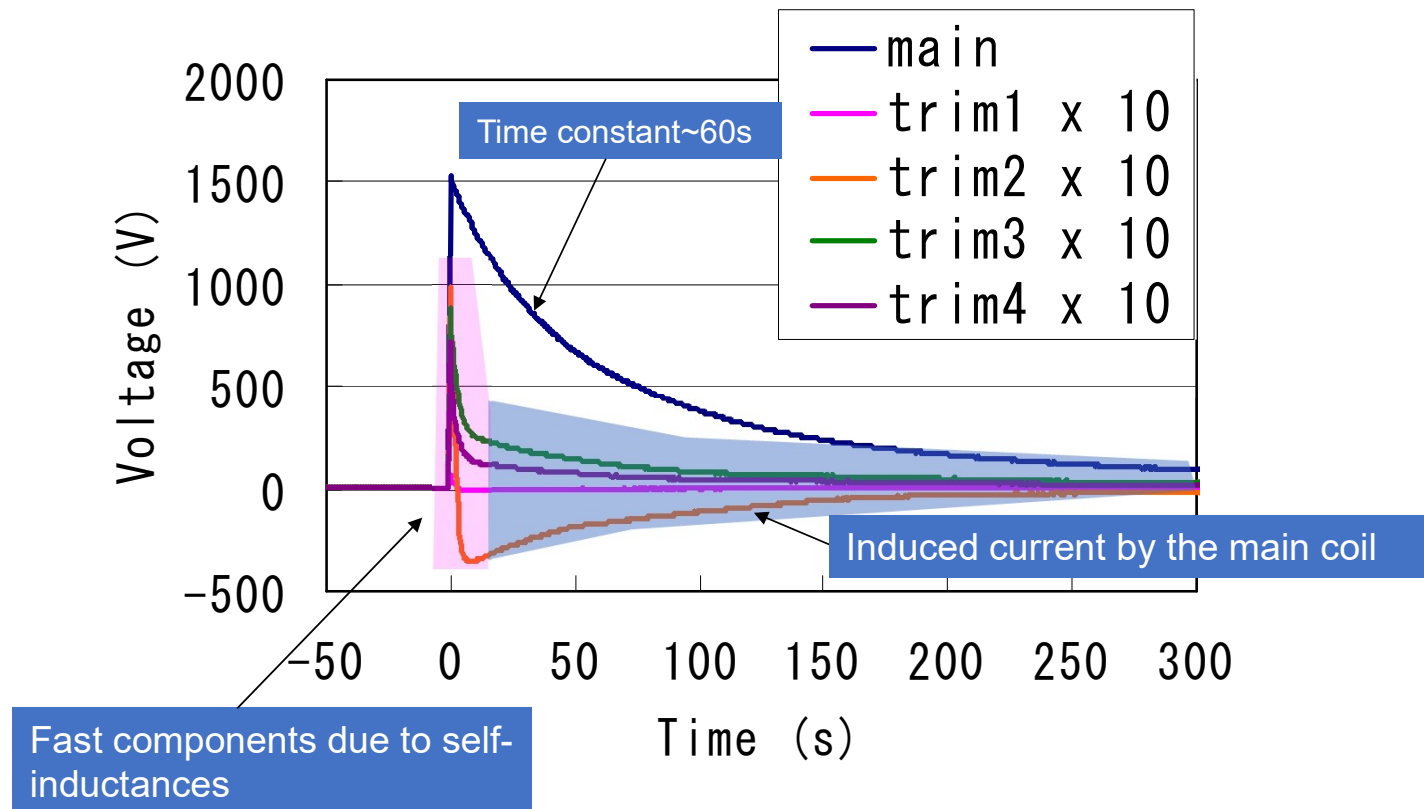
2: Strong Coupling between the main coils and S.C. Trim coils



All the coils never quench. so far..

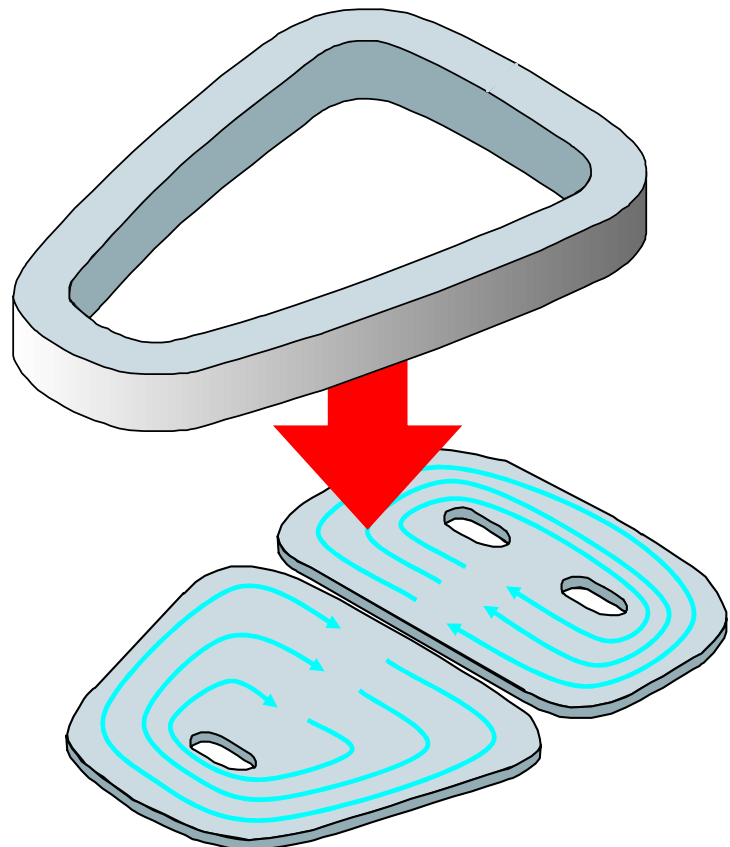


Coil voltages in fast shut-down test from full excitation



The main and trim coils were safely shutdown even in emergency.

Eddy current loss in shut-down process

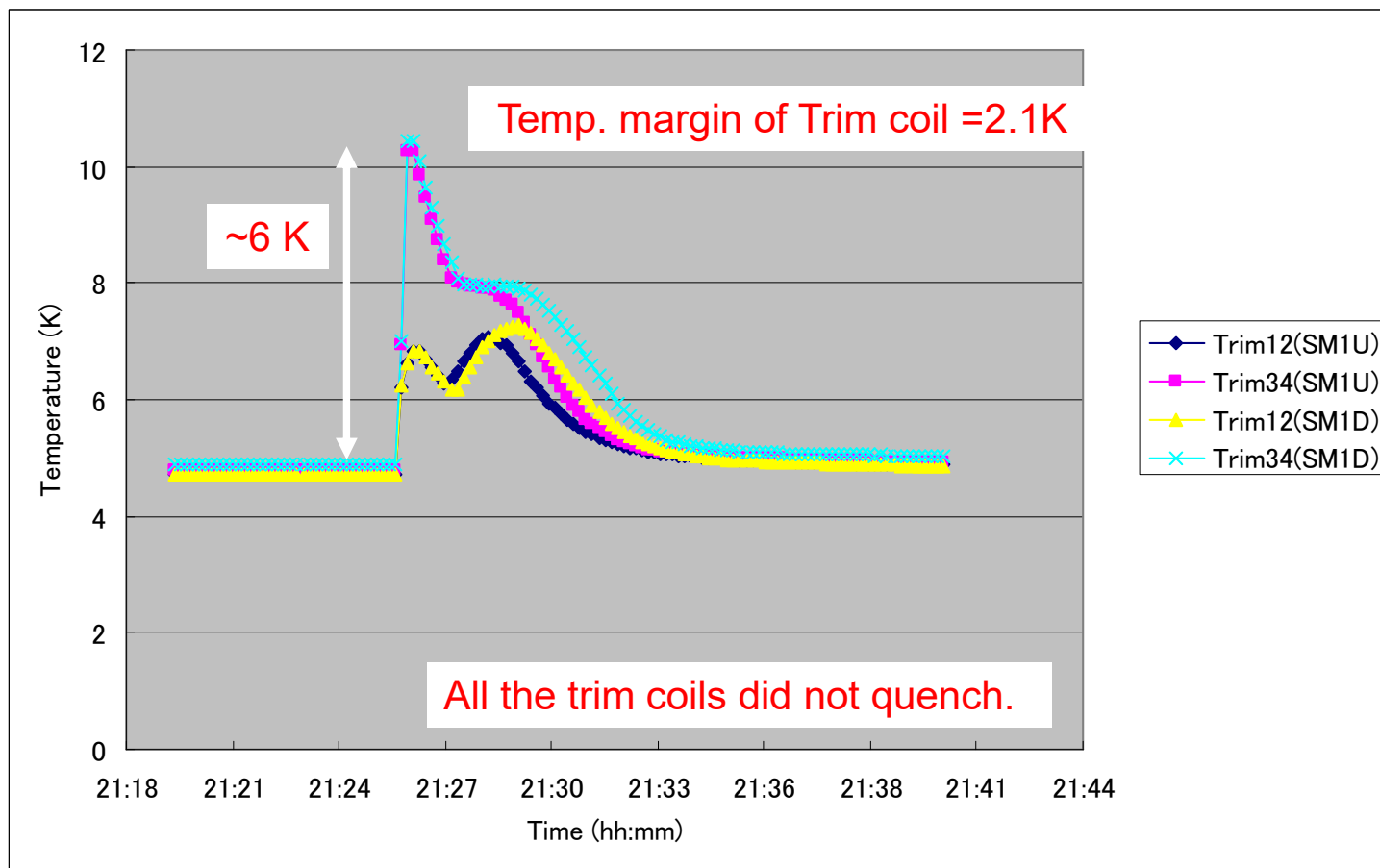


Eddy current loss in the Aluminum supports for the superconducting trim coils

Estimation~ 100W
(slow shutdown from full excitation)

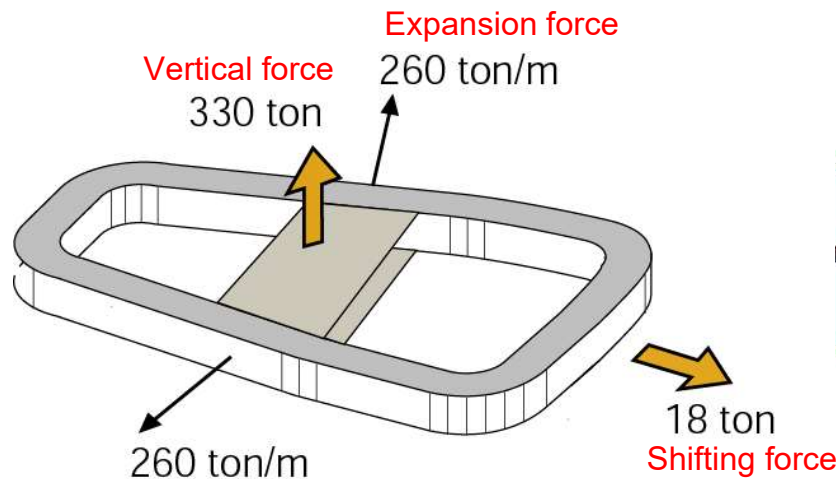
The trim coil quench?
(Temp. Margin~2K)

Temp. rise of the trim coil in slow shut-down from full excitation

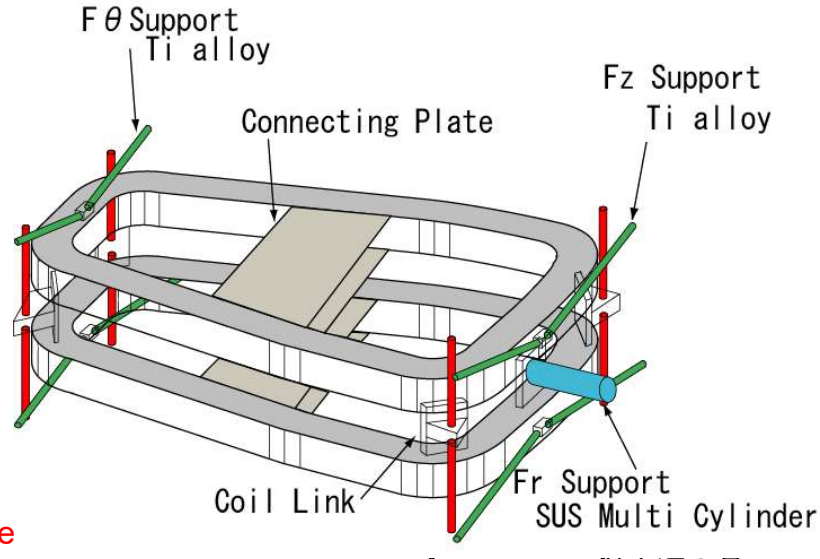


Calculated forces are correct?

Forces on the upper coil (TOSCA calculation)

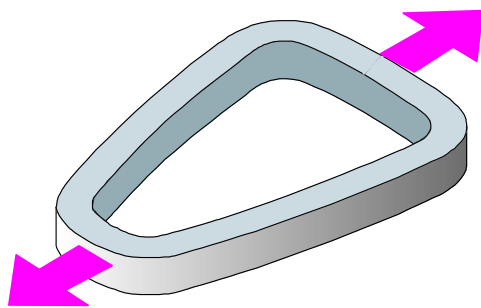


Support system for the cold mass



We continuously measured the forces using the strain gauges attached to all the supports in the excitations.

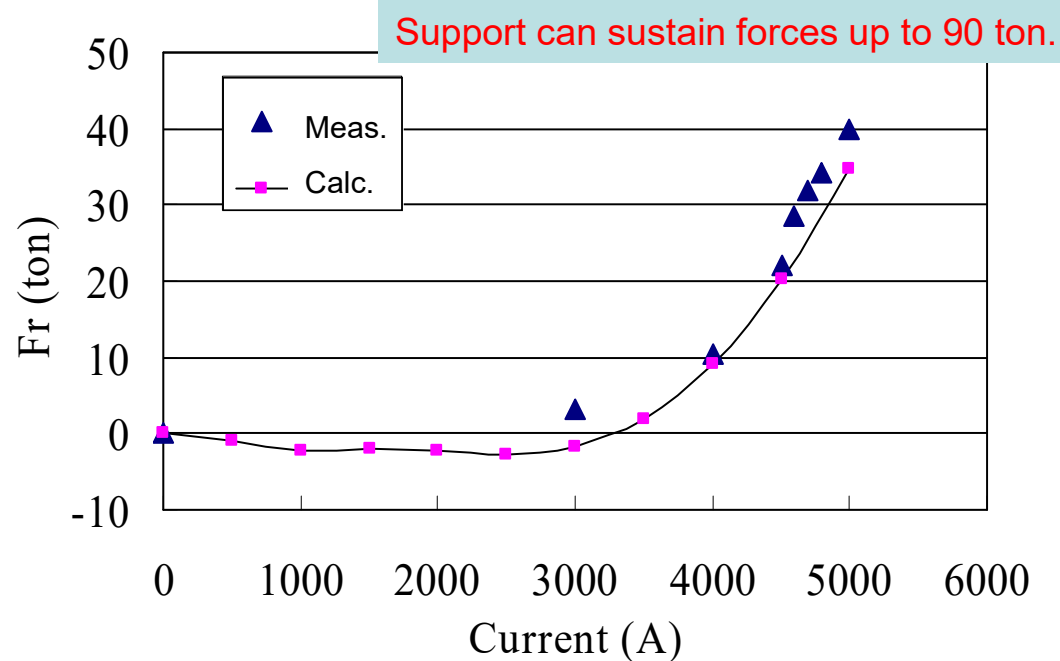
Radial shifting forces are difficult



$$Fr = (\text{Large Force A}) - (\text{Large Force B})$$

(Large Force A) ~ (Large Force B)

The errors are big?



For 3 directions

R direct. : compressive 40ton (0.6mm)

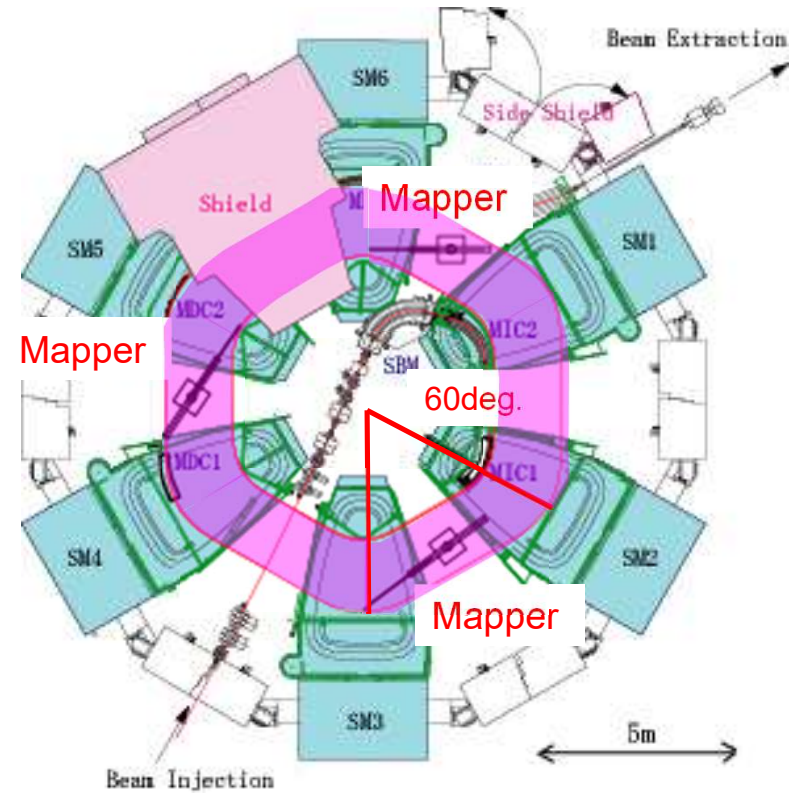
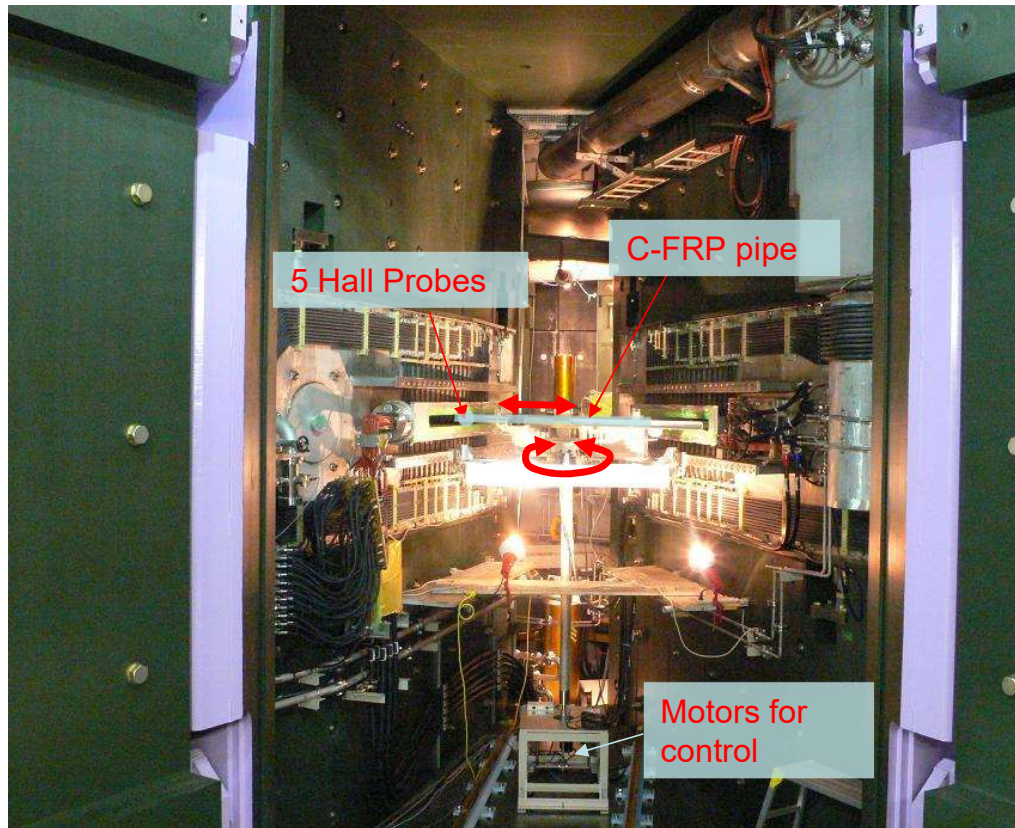
θ direct. : compressive and tensile <1ton (<0.1mm)

Z direct. : compressive 7ton (0.5mm)

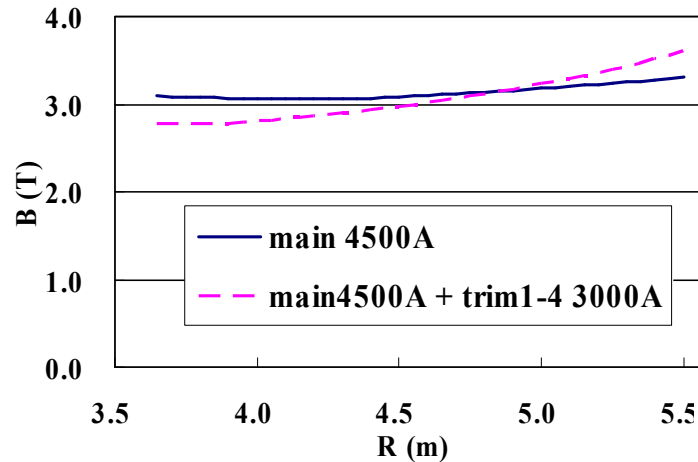
→ The coil displacement due to excitation is small.

Field mapping over the acceleration region

| | |
|--------------|---------------------|
| Field Mapper | 3 (60 deg./each) |
| Hall Probe | 5 |
| Control | 2axis (Rot./Trans.) |
| Mesh | about 5cm |
| Meas. Time | about 3h30m/60deg. |



Measured field profiles along the sector-center axis



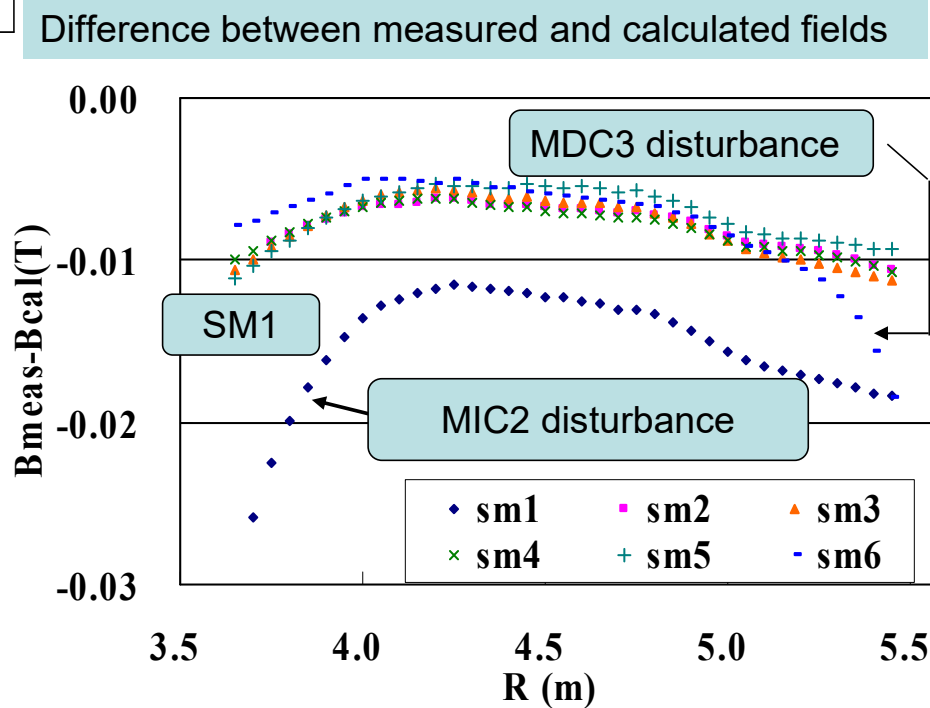
Main Coil: Bending power during the acceleration
Trim Coil: Isochronous field

- Good agreement (0.16%~0.35%)
- Small field dispersion among the sectors

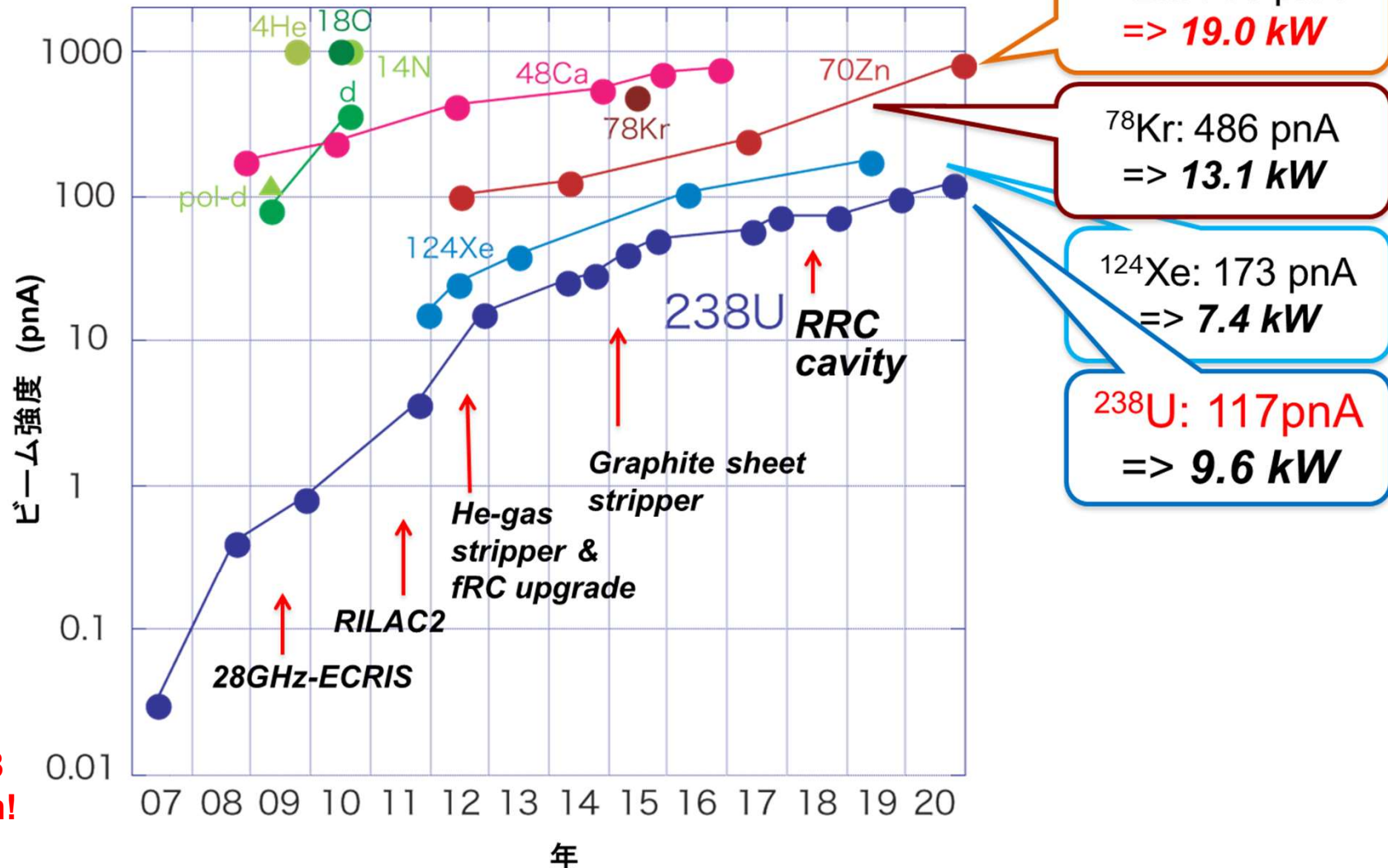
Field Disturbances

- SM1 has a slightly different shape.
- Disturbance from MIC2 and MDC3

Small enough to be adjusted by the correction coils in the magnetic channels and aux. power supplies of the main and trim coils.



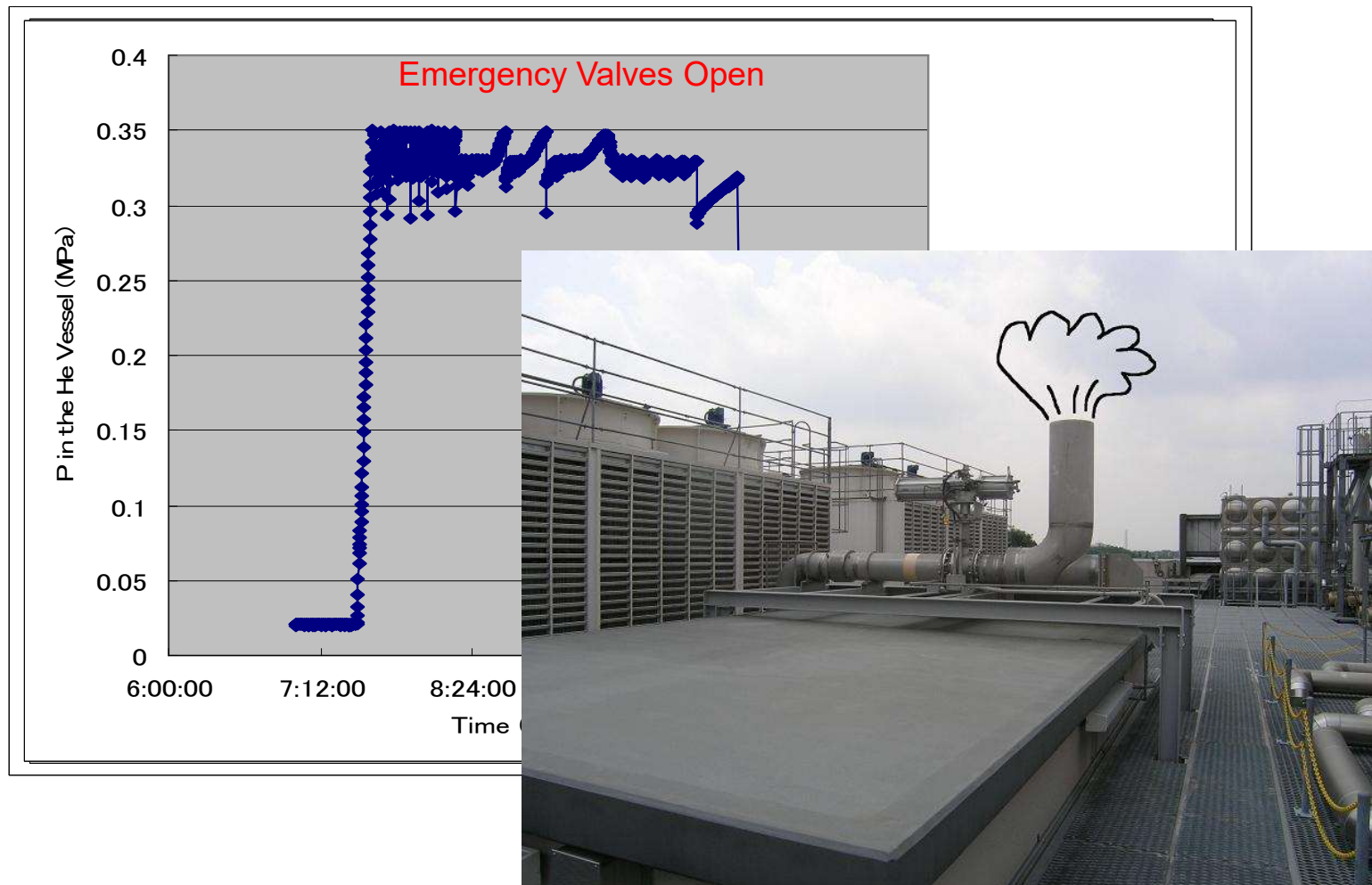
ファーストビーム('06/12/28)後加速されたイオンとビーム強度
目標:全元素で1 p μ A (6×10^{12} #/s)



トラブルと反省点

- 幸い超伝導コイルでのトラブルは起きていない。（今のところ）
 - その時に設計上判断したことが正しいかどうかは、10年後にわかることがある。。
 - 柔らかい裸線を巻いたのはショートのリスクをずっと引きずっている。
- 2005年11月8日フィードスルーからの漏れ
- ~2008年冷凍機の油問題

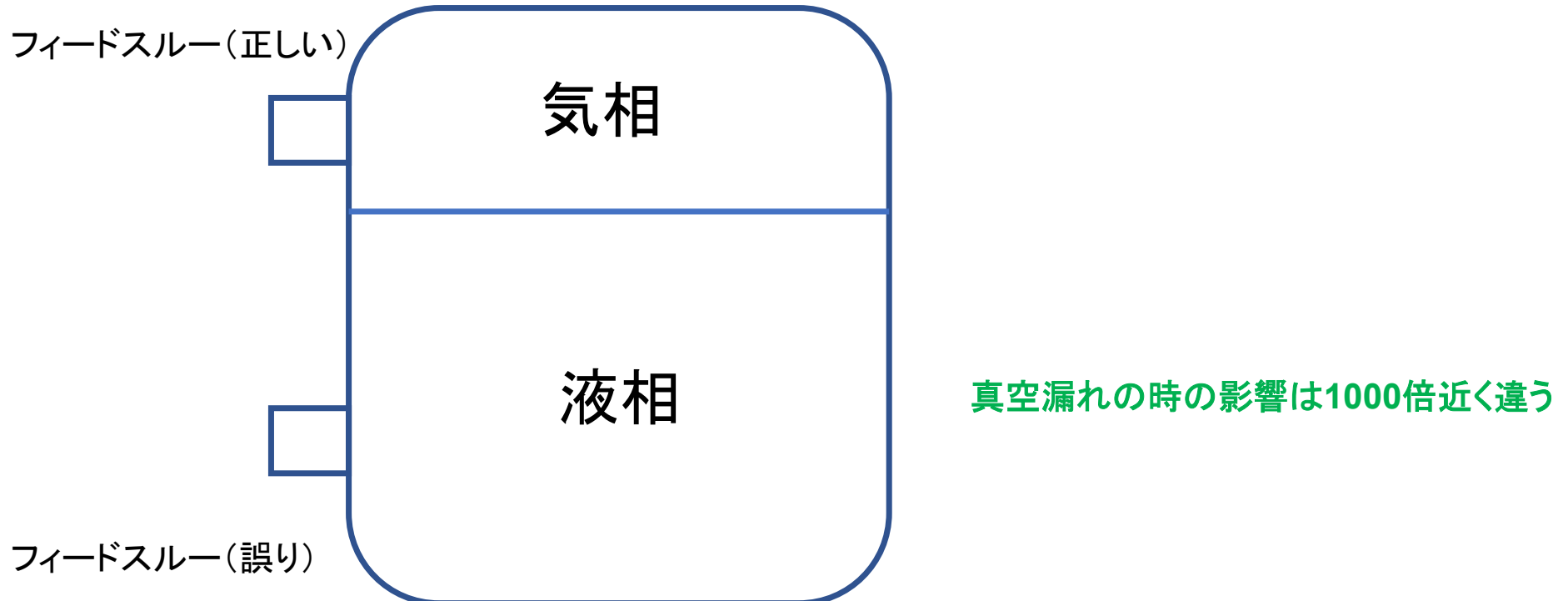
What happened on Nov. 8.



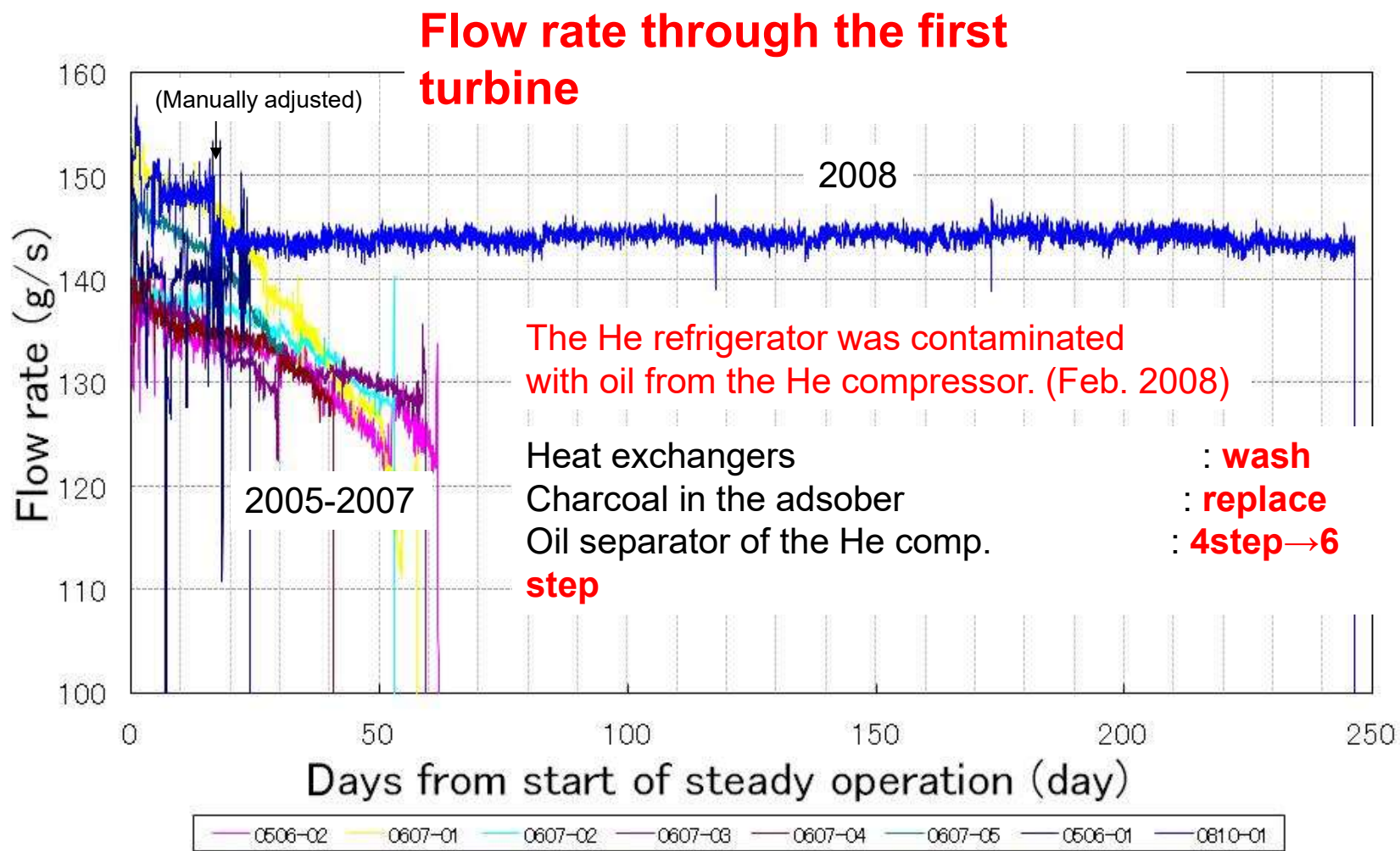
A feed through attached the vessel was broken.



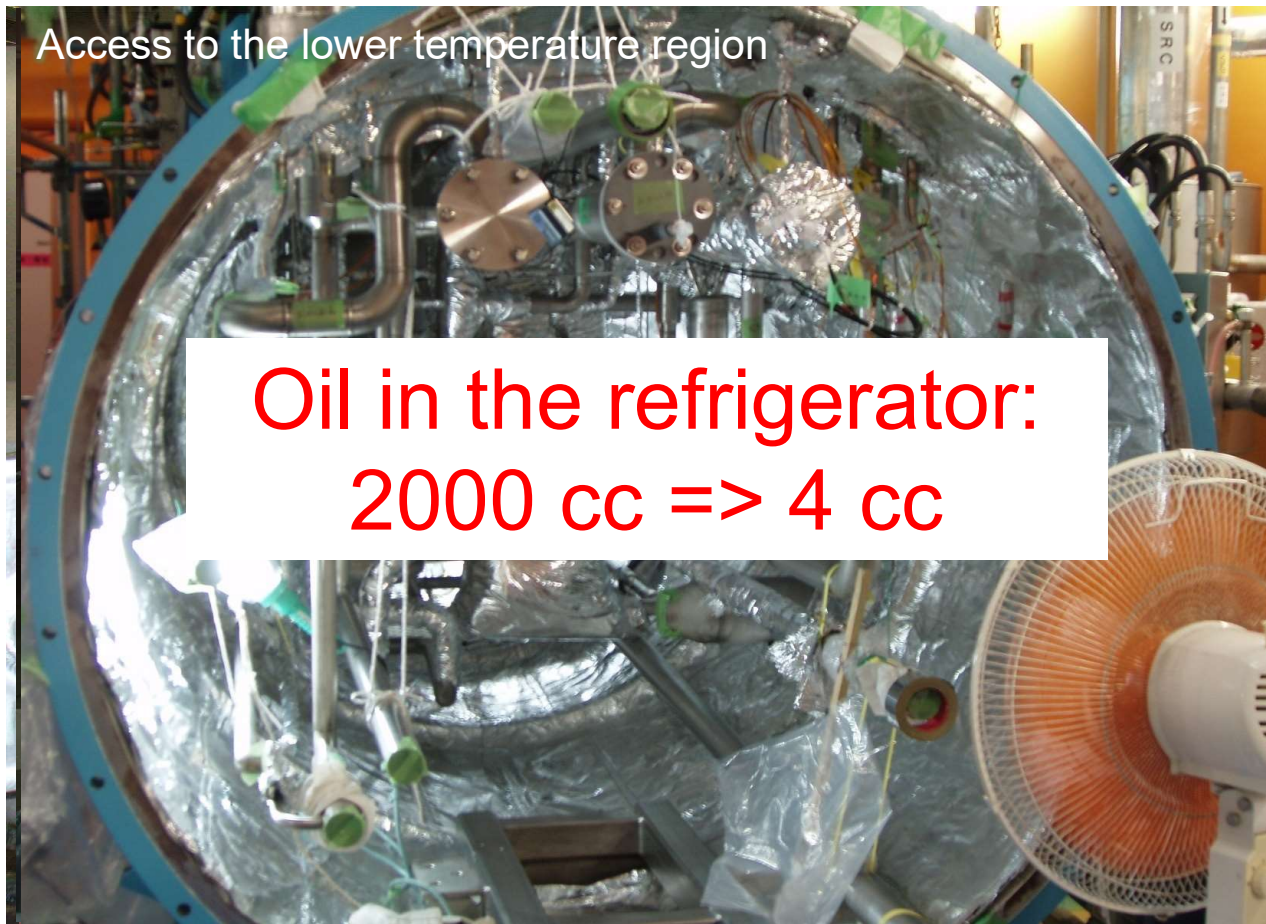
フィードスルーの気相に設置



Oil contamination in the He refrigerator



Battle against the oil in the He refrigerator



油分離機の性能は契約値以上のものを目指すこと。

- **MSU型（AVFサイクロトロンを超伝導化）**
 - 更なる小型化、高エネルギー化をめざす。
 - 鉄を使わない
 - 高温超電導
 - 用途：RI製造や放射線治療用
- **SRC型（リングサイクロトロンの超伝導化）**
 - MITのニュートリノグループ
 - 用途：基礎科学（ニュートリノ）、ADS用のドライバー
- **フル超伝導化**
 - テキサスA&Mのグループ

2021年 陽子治療用超伝導サイクロトロンの開発に成功した住友重機

医療機器ニュース

陽子線治療用の超電導サイクロトロンを開発、照射時間3分の1以下

© 2021年11月08日 15時00分 公開

[MONOist]

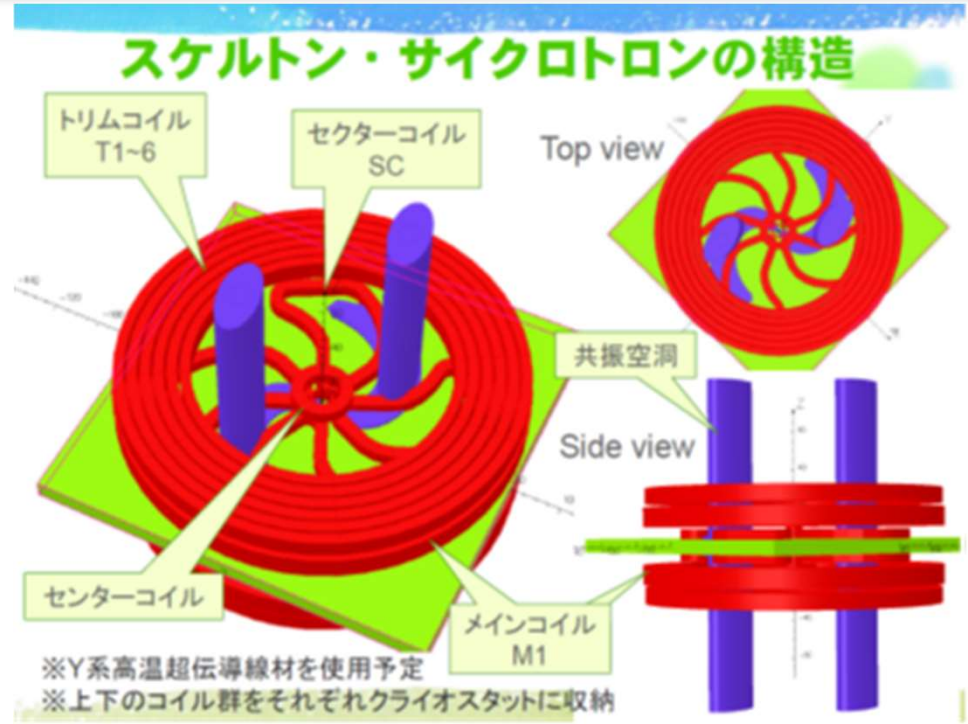


住友重機械工業は2021年10月26日、陽子線治療用の超伝導サイクロトロンの開発に成功したと発表した。陽子線の強度を高め、陽子線治療用としては世界最高レベルとなる1000nAの高強度陽子線を発生できる。



超伝導サイクロトロンの陽子線加速試験の様子 出所：住友重機械工業

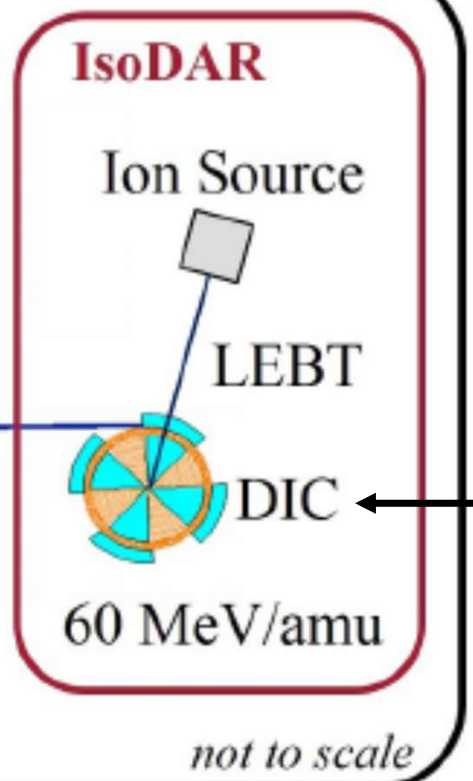
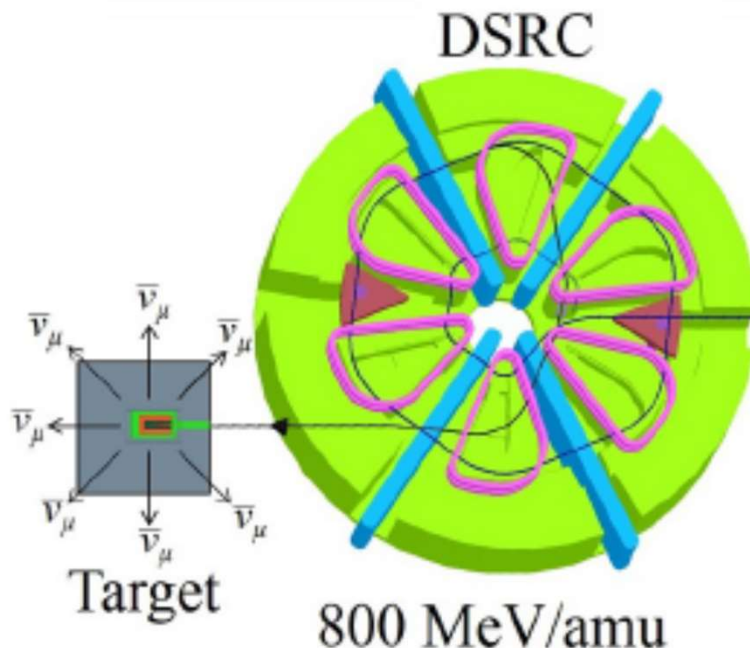
陽子線治療 200MeV以上
重さはJohoの公式から見ると50–60トン程度と思われる



K値: 80MeV
最大平均磁場: 2.6T
引き出し半径: 50cm
超伝導体: Y系高温超電導線材を使用

Superconducting Ring Cyclotron H₂+加速、800MeV, 5mA

DAEδALUS

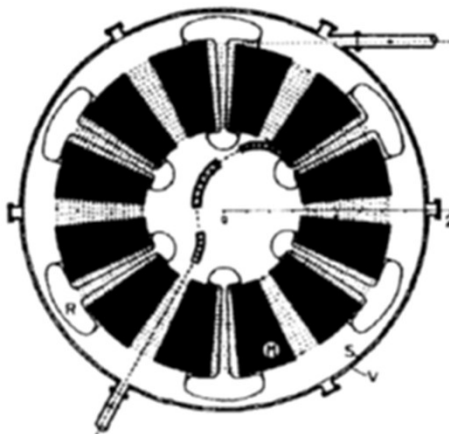
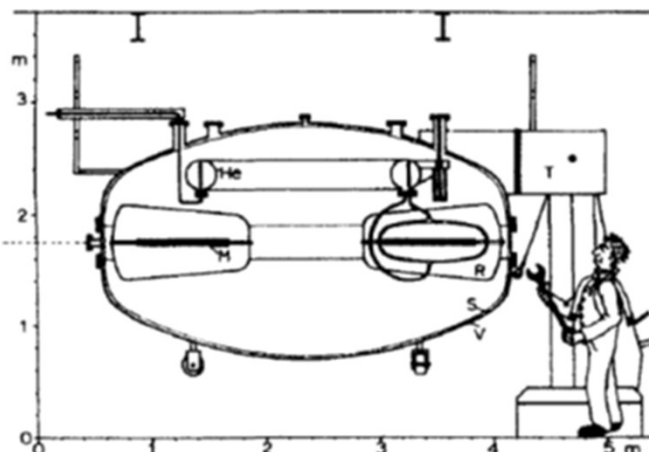


超伝導コイルの設計(2012) by
MIT Joseph Minervini, et al.,

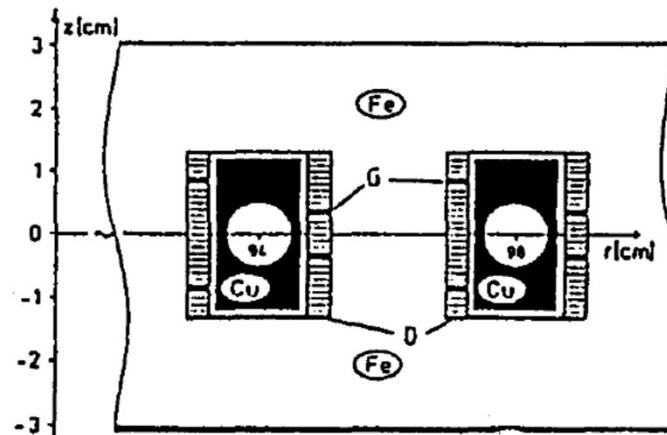
<https://arxiv.org/ftp/arxiv/papers/1209/1209.4886.pdf>

現在はIsoDARの設計、開発
に集中

Tritron (強収束サイクロトロン)



ビーム輸送チャンネル



超伝導加速空洞

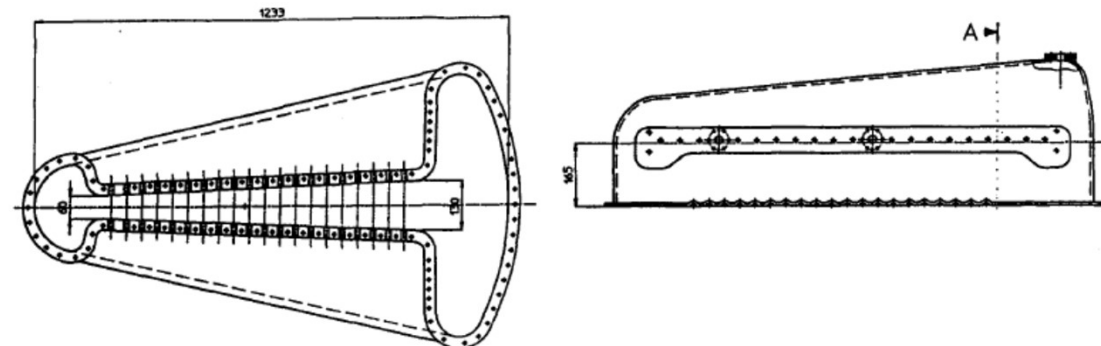


Figure 3: Cross sections of the upper half of a cavity. Numbers in mm.

スタックサイクロトロン（強収束サイクロトロン）

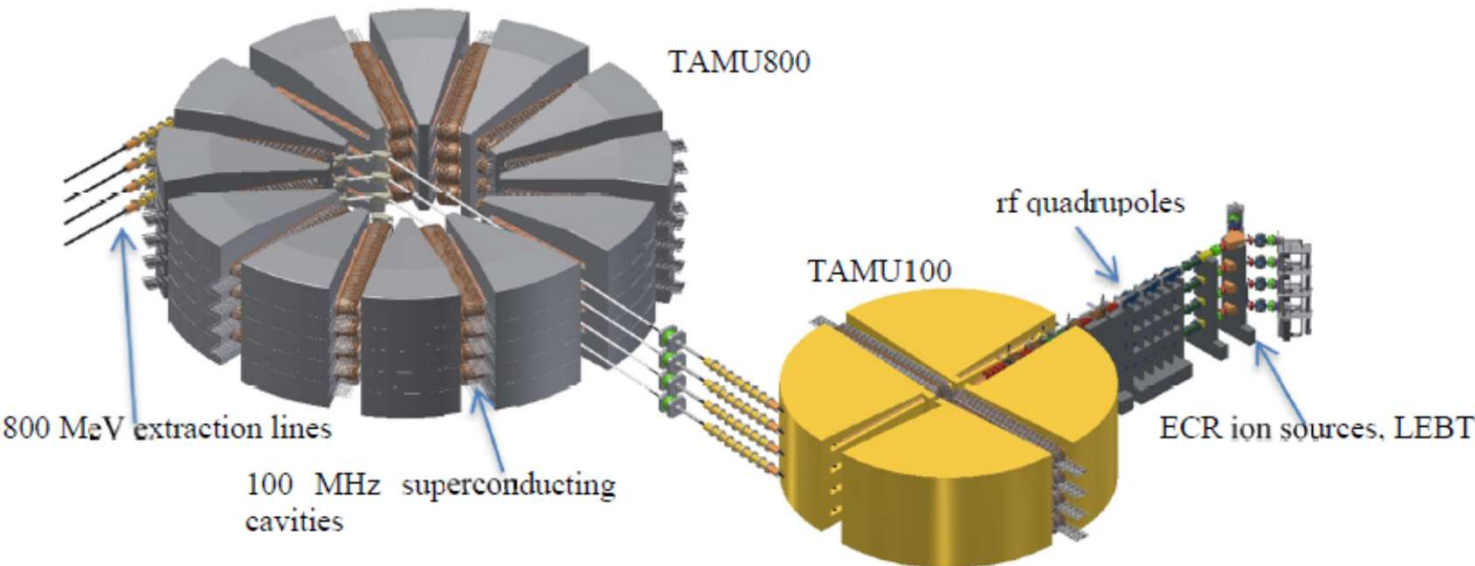
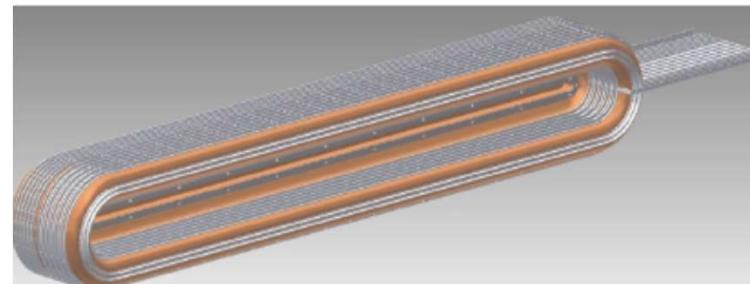


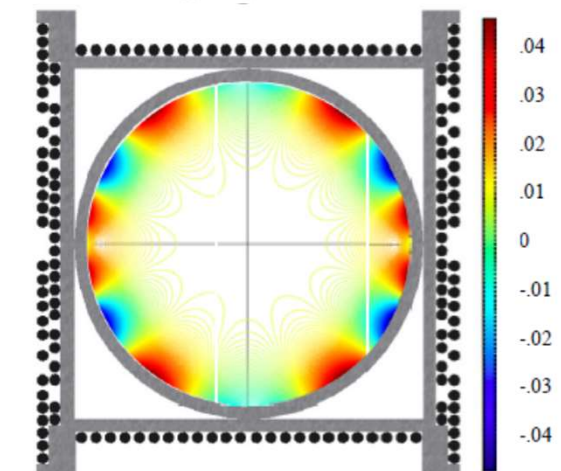
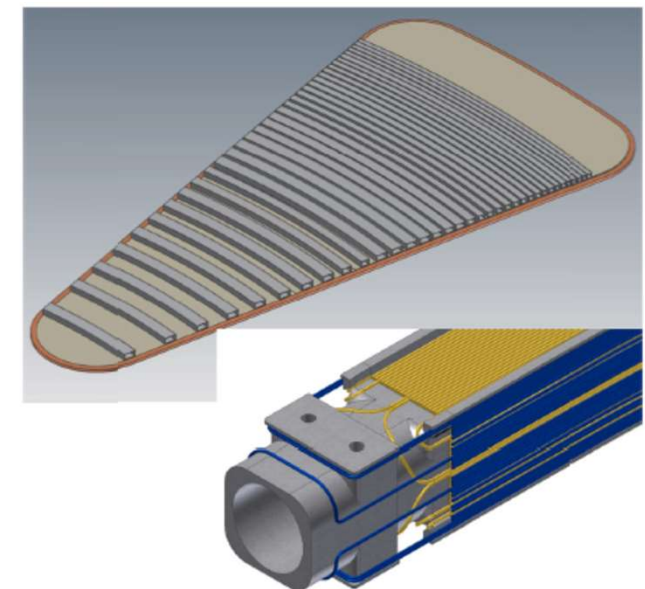
Figure 1: Strong-focusing cyclotron, showing injectors and main ring for a flux-coupled 4-stack.

超伝導加速空洞(QWR)



Proton
10mA 800 MeV

ビーム輸送チャンネル



- サイクロトロン概略
 - Classical → AVF → セクター分離型
- MSUの超伝導サイクロトロン
 - AVFサイクロトロンの超伝導化
 - 常伝導サイクロよりも $1/15$ 倍軽い
- 理研RIBFの超伝導リングサイクロトロン
 - 非円形コイルを組み合わせたリングサイクロトロン
 - 力の制御が困難
- 今後の「サイクロトロンの超伝導化」
 - MSU型 → 更なる小型化、高エネルギー化、高温超電導
 - RIKEN型 → 基礎物理用
 - TRITRON型 → Stacked Cyclotron (強収束サイクロトロン)